

Vysoká škola: Strojní a textilní  
Fakulta: Textilní

Katedra: KVS  
Školní rok: 1966/67

## DIPLOMNÍ ÚKOL

pro s. Malíka Dušana  
obor Obráběcí stroje.

Protože jste splnil požadavky učebního plánu, zadává Vám vedoucí katedry ve smyslu směrnic ministerstva školství a kultury o státních závěrečných zkouškách tento diplomní úkol:

- Název téma: I. Navrhněte zařízení pro kontinuální měření šířky textilní tkaniny u fixačního rámu firmy n.p. TOTEX.  
II. Uvažujte, že šíře tkaniny kolísá v rozmezí  $\pm 0,5$  cm.  
III. Zhodnotte stávající používané systémy.  
IV. Pokud možno provedte ověření navrhovaného systému v provozu.

Pokyny pro vypracování:

Autorské právo se řídí směrnicemi MŠK pro státní závěrečné zkoušky č. j. 31 727/62-H/2 ze dne 13. července 1962. Věstník MŠK XVII, sešit 24 ze dne 31. 8. 1962 § 19 autorského zákona č. 115/53 Sb.

VYSOKÁ ŠKOLA STROJNÍ A TEXTILNÍ  
Ústřední knihovna  
LIBEREC 1, STUDENTSKÁ 5

✓ 111/66 S

Rozsah grafických laboratorních prací:

Výkresová dokumentace jednoho typu zařízení.

Rozsah průvodní zprávy: 50 stran

Seznam odborné literatury:

Mirtes: Stejnosměrné zesilovače.  
Výzkumná zpráva fy. Artos.

Vedoucí diplomní práce: Ing. Milan Kyncl. C.Sc.

Konsultanti:

Ing. Miloslav Babica n.p. Totex Chrastava,  
Ing. Antonín Blírka n.p. Totex Chrastava  
Jaroslav Bošťický n.p. Totex Liberec

Datum zahájení diplomní práce: 26.IX.1966.

Datum odevzdání diplomní práce: 5.XI.1966.

L. S.

S. Nečenec

Vedoucí katedry

Simon

Děkan

v Liberci dne ..... dne 24.VIII. .... 1966.

Úvod.

Textilní úpravárenství má za úkol změnit vlastnosti a vzhled zboží a vystupňovat jeho jakost, přičemž je zboží podrobeno různým technologickým procesům. Vzniká přitom řada měřících a regulačních problémů.

Jedním z druhů technologických procesů ~~textilního~~ úpravárenství je fixace textilních tkanin. Fixace může být buď fixace barvy, nebo fixace tvaru.

Při fixaci tvaru se tkanina napne napínacím rámem a vystaví působení tepla, jehož působením proběhnou v materiálu tkaniny různé změny, mimo jiné i změna rozměru. Jelikož tkanina na výstupu z fixačního rámu se vlivem elasticity materiálu smrští, musí být při fixaci napnuta na větší šířku.

Abychom mohli nastavit na vstupu fixačního rámu šířku napínacích řetězů a tím i tkaniny, musíme znát skutečnou šířku tkaniny na výstupu. K tomu je zapotřebí umístit na výstup vhodné měřící zařízení. Obsluha pak dle skutečné šířky tkaniny nastaví šířku napínacích řetězů. Může se to dít též automaticky pomocí regulačního zařízení ovládaného výstupním signálem z měřícího zařízení. Obsahem této diplomové práce je návrh takovéhoto zařízení.

1.00. Zhodnocení stávajících systémů.

Šířka tkaniny na výstupu z fixačního rámu se měří některým z dále uvedených způsobů.

1. Vizuální měření
2. Měření pomocí mechanických čidel
3. Měření pomocí bezdotykových čidel

1.01. Vizuální měření.

Při tomto způsobu měření měří obsluha šířku tkaniny vizuálním srovnáním šířky se stupnicí pevného pravítka umístěného na rámu stroje. Je zřejmé, že je to kontrola velmi nepřesná a může sloužit pouze jako informativní. Navíc je to měření přetržité, neboť obsluha nemůže stále sledovat pravítko.

1.02. Měření pomocí mechanických čidel.

Při tomto způsobu se používají mechanická čidla, která ohmatávají okraj tkaniny. Změna šířky se pak převádí na hydraulický, pneumatický nebo elektrický signál, kterým je řízen servomotor nastavující šířku napínacích řetězů. Jako příklad mohou sloužit dva přístroje jedné americké firmy /4/.

U prvního přístroje se musí světlá šířka určitého druhu posuvného měřítka nastavit ručně na požado-

vanou šířku. Obě čidla se však mohou v malém měřítku při malé změně šíře tkaniny vychýlit do strany tak, že stále doléhají na kraj tkaniny. Vzdálenost čidel se měří elektricky a lze ji odečíst na ukazateli cejchovaném v palcích.

Druhý přístroj měří šířku zcela samostatně. Pracuje rovněž s mechanickými čidly, která jsou namontována na malém vahadle. Každé vahadlo je poháněno elektromotorem a při spojení kontaktu jsou ovládána čidla tak, že automaticky dojíždějí ke krajům tkaniny. Vzdálenost čidel se přenáší ozubenými tyčemi a diferenciálním náhonem na jezdec potenciometru a tak se převádí na elektrickou hodnotu. Podle požadovaného uvolnění ~~člmm~~ se šířka vyznačuje na počítadle, které je provedeno jako samovyrovňávací doběhový regulátor. Aby se při chybějícím zboží zamezilo posuvu měřících vozíků směrem dovnitř, zapíná zvláštní čidlo motorky tak, že vozíky vyjedou směrem ven a tam čekají na zavedení nového zboží. Odchyluje-li se měřená šíře od šířky předem zvolené na nastavitelném číselníku, vytváří regulační automatika ~~impulzy~~, kterých se např. může použít k přestavení napínacích řetězů.

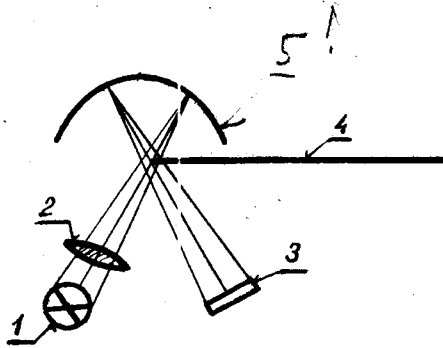
Tyto systémy jsou docela jednoduché, ale mají velkou nevýhodu v tom, že se nedají použít pro větší rychlosti stroje. Mechanické čidlo totiž při vyšších rychlostech nestačí sledovat okraj tkaniny a může zde vlivem nerovnosti okrajů tkaniny dojít k rozkmitání systému. Je zde i větší necitlivost t.zv. mrtvé pásmo,

které je způsobeno mechanickými vůlemi. Další nevýhodou je menší životnost způsobená omezenou dobou trvanlivosti převaděčů mech. pohybu.

#### 1.03. Měření pomocí bezdotykových čidel.

U zařízení, která měří pomocí bezdotykových čidel, se většinou používají fotoelektrická čidla. Tato zařízení mohou, podobně jako předcházející, převádět změnu šířky plynule na elektrický signál, který je úměrný šířce tkaniny, anebo změnu šířky převedou na impuls. Tento impuls má konstantní velikost.

Jako příklad takového zařízení může sloužit zařízení fy Erhardt & Leimer o.H!G. (obr. 1). Tkanina svým okrajem zacloňuje paprsek světla a tím se mění osvětlení fotonky. Signál z fotonky se vede do zesilovače, který pak ovládá servomotor nastavení řetězů.



Obr. 1.  
1-žárovka, 2-optický systém, 3-fotonka, 4-tkanina

VŠST  
LIBEREC

Zařízení pro měření  
šířky tkaniny.

DP

5

5. LISTOPADU 1966

D. Malík

Zařízení, používající bezdotykových čidel, jsou sice mnohem složitější, ale to je vyváženo větší životností a schopností pracovat při vyšších rychlostech. Nejsou zde mechanické převaděče pohybu na el. signál, které jsou dosud provozně nespolehlivé.

*fotoaparát propektivní !  
fotografie žárovka žárovka !  
slabá reakce !*

2.00. Návrh zařízení pro měření šířky tkaniny.

Na základě zhodnocení dosavadních systémů, jsem se rozhodl pro zařízení pracující s bezdotykovým čidlem fotoelektrickým.

Zařízení sestává ( obr. 23) ze dvou snímačů 1., 2., (foto 1, 2 , výkr. OMP001 ) umístěných po obou stranách tkaniny 5. Součtový signál z obou snímačů je veden do rozdílového zesilovače 3, kde se porovnává s nastaveným signálem. Velikost nastaveného signálu odpovídá signálu ze snímačů při střední poloze tkaniny. Při stejných signálech, t.j. je-li šířka tkaniny přesně taková na jakou jsou nastaveny snímače, je výstupní signál ze zesilovače nulový. Při pohybu tkaniny do stran se vstupní, a tím i výstupní, signál nemění, neboť o co se změní signál jednoho snímače, o to se změní i signál druhého snímače, ale s opačnou polaritou; to zn., že společný signál obou snímačů zůstane stejný. Signál se mění pouze při změně šířky tkaniny. Výstupní signál ze zesilovače se vede do vyhodnocovacího zařízení, které určí smysl změny a pomocí indikačního zařízení signalisuje zvětšení, nebo zmenšení šířky tkaniny.

2.01. Stručný popis jednotlivých částí zařízení.2.01.1. Snímač.

Snímač sestává ze žárovky-1 umístěné v ohnisku paraboly-2,. Světlo odražené parabolou prochází štěrbinama ~~3~~<sup>clony</sup>,-4 a dopadá na parabolu-5, která jej soustředuje na fotočku-6 (foto 3;4 ). Signál z fotočky závisí na množství dopadajícího světla, které je určeno velikostí zakrytí štěrbiny tkani nou ~~7~~ (obr. 24).

#### 2.01.2. Zesilovač.

Zesilovač je tvořen dvěma tranzistorovými rozdílovými stupni (obr. 25 ). Signál z obou snímačů je veden na jeden vstup a na druhý je veden porovnávací signál. Rozdíl obou signálů se zesílí v obou stupních a je veden do vyhodnocovacího a indikačního zařízení.

#### 2.01.3. Vyhodnocovací a indikační zařízení.

Vyhodnocovací a indikační zařízení je tvořeno polarizovaným relé a dvěma indikačními žárovkami. Polarizované relé sepíná dle polarity výstupního signálu ze zesilovače, na jednu, nebo druhou stranu. Tím rozsvěcuje jednu, nebo druhou indikační žárovku. Polarita signálu je závislá na smyslu změny šířky tkaniny. Obsluha změní nastavení napínacích řetězů tak, aby obě žárovky nesvítily.

VŠST  
LIBEREC

Zařízení pro měření  
šířky tkaniny.

DP  
5. LISTOPADU 1966  
D. Malík

Citlivost celého systému se dá nastavit potencimetrem na požadovanou velikost.

2.01.4. Napájecí a stabilizační obvod.

I když rozdílový zesilovač není příliš citlivý na změny napájecího napětí / 5 /, je u tohoto zařízení provedena stabilizace napájecího napětí. Jako stabilizátoru je zde použito můstkového stabilizátoru se Zenerovými diodami (obr. 21) Stabilizátor je napájen ze zdvojovače napětí (obr. 25)

3.00 Základy teorie transistorů a jejich obvodů.

3.01 Úvodní poznatky o polovodičích.

Polovodiče jsou tuhé látky, které nejsou ani dobrými vodiči, ani dobrými izolanty. Když však izolant zahřejeme na vysokou teplotu, uvolní se vlivem teploty některé elektrony a izolant může vést. Pokud vnitřní atomové vazby nejsou příliš stabilní, může látka poměrně dobře vést proud i za pokojové teploty. Takovou látku nazýváme polovodičem.

Nejčastěji užívanými polovodiči jsou germanium a křemík. Mají krystalovou mříž ve tvaru krychle se čtyřmi dvojitými souvstažnými vazbami na každý atom. U čistého polovodiče jsou všechny valenční elektrony vázány, takže nemohou volně procházet krystalem; krystal je nevodivý.

Tyto vazby se však teplem velmi snadno poruší a polovodič se stane vodivým.

Vodivost polovodiče můžeme také zvýšit přimísením nečistot. Přimísíme-li do krystalu malé množství pětimocného prvku (As, Sb), pak některá místa krystalové mříže, která byla dosud osazena atomem polovodiče, budou nyní obsazena atomem pětimocného prvku. Protože však jenom čtyři z pěti valenčních el. se mohou vázat s elektrony sousedních atomů polo-

vodiče, zůstane pátý elektron volný, takže se může působením vnějšího elektrického pole pohybovat.

Takové nečistoty nazýváme donory a vodivost nazýváme vodivostí typu N.

Přimísíme-li do polovodiče naopak trojmocný prvek (Al, Ga, In), nejsou všechny vazby splněny a do neúplné vazby může přeskočit elektron ze sosedních atomů, čímž se poloha neobsazeného místa přenese na místo porušené dvojice, což může pokračovat, takže za působení vnějšího el. pole se poloha chybějícího elektronu posunuje ve směru pole a celek působí navenek stejně, jako <sup>by</sup> se pohyboval náboj stejné velikosti, jako má elektron, avšak kladný. Pohyblivým neobsazeným místům říkáme díry. Tento druh vodivosti nazýváme vodivostí typu P a nečistoty nazýváme akceptory.

### 3.02. Průchod proudu polovodiči.

Elektrony a díry mají v polovodiči jistou konečnou pohyblivost, která je přímo úměrná převratné hodnotě intenzity elektrického pole. Lze to vyjádřit vtahem:

$$\mu_n = v_n/E, \quad \mu_p = v_p/E \quad (1)$$

kde  $v_n$  a  $v_p$  jsou rychlosti posuvu elektronů a dér, E -intenzita el. pole a  $\mu_n, \mu_p$  jsou pohyblivosti.

Pohyblivost je dána dle /1+ :  $\mu_n = \frac{4ql}{3(2\pi mT)^{1/2}} \quad (2)$

kde  $q$ -náboj elektronu,  $m$ - hmota elektronu,  $T$ -abs.  
teplota,  $l$ -střední volná dráha elektronů.

Uplatňují-li se při pohybu elektrony i díry,  
je výsledný proud součtem obou dílčích proudů. Prou-  
dová hustota je vyjádřena vztahem:

$$\sigma = q(N_n \cdot \mu_n + N_p \cdot \mu_p) \quad (3)$$

kde  $N_n$  a  $N_p$  jsou počty elektronů a dér v objemové  
jednotce hmoty.

Tepelná energie může v krystalu vyvolat volné  
nosiče elektron-díra. Elektrická vodivost reprezen-  
tovaná dvojicemi elektron-díra se nazývá vlastní vo-  
divostí krystalu. Vzniklé nosiče však nemají dlouhou  
životnost - dojde k rekombinaci těchto nosičů. Při  
pokojové teplotě je střední životnost pro germanium  
asi  $10^{-4}$  s. // . Četnost uvolněných dvojic vzrůstá  
s teplotou a pro germanium lze napsat vztah // :

$$N_i = 4,5 \cdot 10^{19} \exp(-4390/T) \quad (4)$$

Při dosažení určité teploty se počet vlastních no-  
sičů zvětší tak, že zvětšení vodivosti, vzniklé ne-  
čistotami lze zanedbat. Tuto mezní teplotu nazýváme  
teplotou vnitřní vodivosti.

Uvažme, jak se chová polovodič, v němž se zah-  
řátím uvolnily vlastní dvojice elektron-díra a kro-  
mě toho ještě další elektrony z atomů donorů.

Zahřátím vzroste hustota elektronů a tím se také  
zvětší pravděpodobnost, že uvolněné elektrony zapl-  
ní většinu dér a tím se počet dér zmenší. Kvantita-

VŠST  
LIBEREC

Zařízení pro měření  
šířky tkaniny.

DP  
5. LISTOPADU 1966  
D. Malík

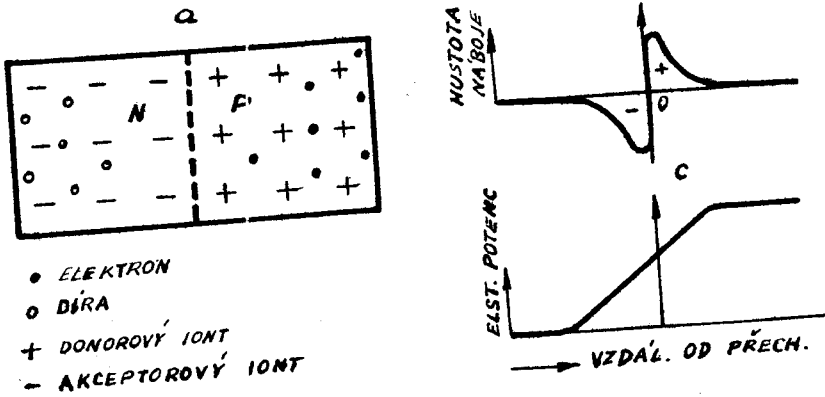
12

tivně to lze napsat s dostatečnou přesností vztahem 18:

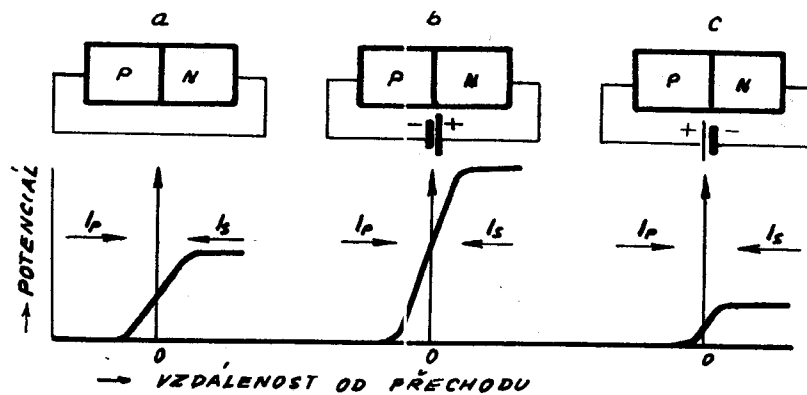
$$N_n N_p = N_i^2 \quad (5)$$

3.03. Tvorba P-N přechodu a jeho vlastnosti.

Stýká-li se v jednom krystalu část polovodiče typu N s částí polovodiče typu P (obr.2), vznikne P-N přechod. Pokud na něj nepůsobí vnější pole, proniknou některé elektrony difuzí z části N do P a opačně proniknou některé díry z P do N. Tento průtok trvá tak dlouho až elektrické pole, které vzniklo vplyvem elektrického náboje ionizovaných akceptorů a donorů. El. pole vyvolá proud opačného směru, než je směr proudu vplyvem gradientu koncentrace nosičů. V rovnovážném stavu, bez přiloženého vnějšího napětí je proud difuze  $I_p$  roven proudu,  $I_s$ , který vznikne působením vnitřního el. pole. Tento stav je zobrazen na obr.3a.



Obr.2  
a-schéma P-N přechodu, b- rozložení hustoty náboje,  
c-rozložení elstat. potenciálu.



Obr. 3

a- přechod bez napětí, b- přechod s napětím v závěr. směru, c- přechod s napětím v propustném směru.

Vnitřní el.pole představuje potenciálovou bariéru, která způsobuje vodivost přechodu pouze v jednom směru. Přiložíme-li napětí v nepropustném směru (obr. 3a), majoritní nosiče působením elstat. sil jsou oddalovány od přechodu, takže prakticky přechodem neteče proud. Zvyškový proud  $I_s$ , který teče opačným směrem, vyvolávají minoritní nosiče.

Přiložíme-li na přechod napětí v propustném směru (obr.3c), majoritní nosiče procházejí přes přechod vplyvem elstat. sil. Pozorujme prod děr. Tyto přecházejí do oblasti N, kde se rekombinují s elektronami, takže proud děr přechází postupně v proud elektronů. To samé platí i pro elektrony v opačném směru.

Přechod P-N představuje v propustném směru malý odpor a umožňuje dobré vstřikování minoritních nosičů,

což je velmi důležité pro tranzistorovou techniku.

Na obr.4 je znázorněna závislost proudu přechodu na přiloženém napětí. Tuto závislost lze vyjádřit vztahem:

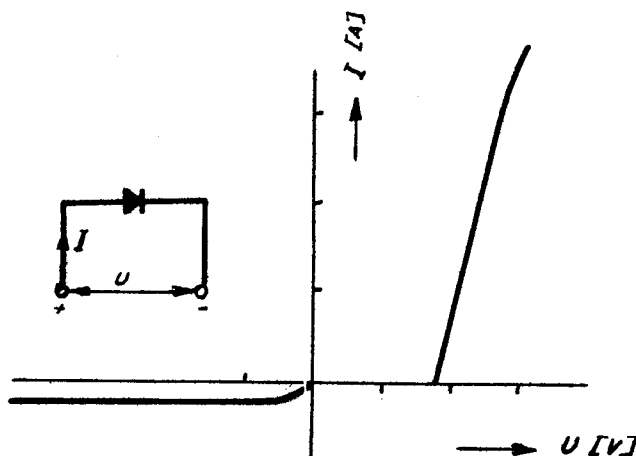
$$I = I_{zs} (\exp qU/kT - 1) \quad (6)$$

kde  $I_{zs}$  - nasycený proud v závěrném směru

$k$  - Boltzmanova konstanta

$T$  - absolutní teplota přechodu

$q$  - náboj elektronu



Obr. 4

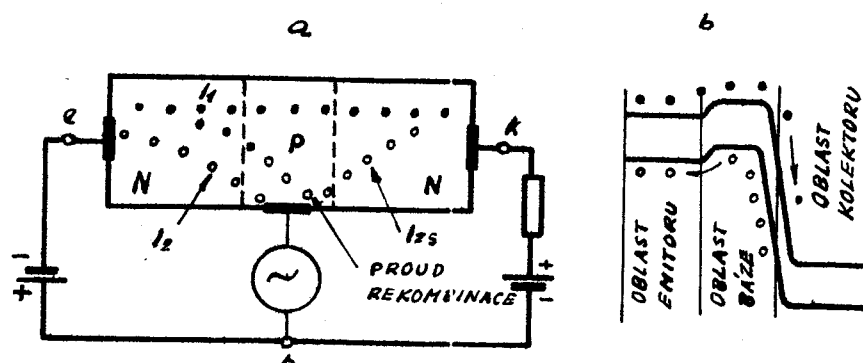
### 3.04. Podstata činnosti tranzistoru.

Vhodným uspořádáním F-N přechodů vzniká zesilovací prvek - tranzistor. V současné době hlavní typy tranzistorů jsou tranzistory N-P-N a P-N-P, tvořené třemi oblastmi polovodiče s příslušným typem vodivosti. Jednotlivé oblasti nazýváme emitor, báze a kolektor. Přechody mezi nimi nazýváme emitorový a kolektový.

rový přechod.

Pozorujme činnost tranzistoru při malých signálech. Pro typ N-P-N přikládáme mezi bázi a emitor stejnosměrné napětí velikosti několika desetin voltu; mezi bázi a kolektor napětí několik desítek voltů. Toto napětí je přiváděno přes zatěžovací odpor  $R_z$ . Polarita napětí je vždy taková, že emitorový přechod má napětí v propustném a kolektorový přechod v závěrném směru. Obvod báze je napájen střídavým generátorem. (obr.5).

Je-li napětí generátoru nulové, proud tečoucí tranzistorem se rozdělí na tři části. Jednou je proud  $I_{zs}$  (proud z kolektoru do báze), což je vlastně zpětný proud kolektorového přechodu. Tento proud nezávisí od přiloženého napětí a při dané teplotě je konstantní.



Obr. 5.  
a - schéma, b - rozložení potenciálu.

Hlavním proudem je proud elektronů  $I_1$  z emitoru přes bázi do kolektoru. Podíváme-li se na obr. 5b, vidíme, že elektrony v oblasti emitoru mají dostatek energie, aby překonali potenciální bariéru emitorového přechodu sníženou přiloženým napětím, difundují přes úzkou oblast báze s malým ztrátama vlivem rekombinace a sklouzávají z potenciální bariéry kolektorového přechodu ke kolektoru. Velikost tohoto proudu je především funkcí napětí na e. přechodě. Přes e. přechod teče ještě jedna část proudu. Je to proud děr  $I_2$  z oblasti báze do emitoru. Tento proud je také funkcí přiloženého napětí. Poměr těchto proudů je dán vztahem /1/:

$$\frac{I_1}{I_2} = \frac{L \delta_n}{w \delta_p} \quad (7)$$

kde  $L$  - difuzní dráha díry v oblasti N

$w$  - šířka báze

$\delta_n$  - specifická vodivost oblasti N

$\delta_p$  - specifická vodivost oblasti P

Přivedeme-li na bázi střídavý signál, nastane modulace napětí na emitorovém a kolektorovém přechodu.

Změnu napětí na k. přechodu můžeme zanedbat vzhledem k velkému napětí na něm. Přivedeme na bázi kladnou půlvlnu signálu. Báze se stane kladnější, potenciálová bariéra e. přechodu se zmenší a do oblasti báze a tím i do kolektoru pronikne větší množství elektronů. Vnějším napětím můžeme tedy regulovat proud tran-

zistoru. Vplyvem kladnějšího emitoru se proudy  $I_1$  a  $I_2$  zvětší o přírůstky proudů jednotlivých elektrod

$$\text{přírůstek proudu emitoru } \Delta i_e = -\Delta(I_1 + I_2)$$

$$-\Delta - \quad -\Delta - \quad \text{báze} \quad \Delta i_b = \Delta I_2 \quad (8)$$

$$-\Delta - \quad -\Delta - \quad \text{kolektoru} \quad \Delta i_k = \Delta I_1$$

Tyto vztahy umožňují určit proudové zesilovací činitel

$$\alpha = \left| \frac{\partial i_k}{\partial i_e} \right|_{U_b = \text{konst.}} \quad \beta = \left| \frac{\partial i_k}{\partial i_b} \right|_{U_b = \text{konst.}} \quad (9)$$

### 3.05. Matematické vyjádření vztahů mezi vstupními a výstupními veličinami tranzistoru.

Jak již bylo dříve uvedeno platí pro idealizovanou diodu tvořenou P-N přechodem vztah:

$$I = I_{zs} (\exp qu/kT - 1)$$

Při teplotě  $25^\circ \text{C}$  je

$$kT/q = U_0 \approx 0,026 \text{ V} \quad (10)$$

Při  $U \gg 0$  (propustný směr) platí s dostatečnou přesností zjednodušený vztah:

$$I = I_{zs} (\exp U/U_0) \quad (11)$$

Při  $U \ll 0$ :

$$I \approx I_{zs} \quad (12)$$

Pro emitorový a kolektorový proud plošného tranzistoru platí téměř bez ohledu idealizované vztahy:

$$I_e = a_{11}(\exp \phi_e/U_0 - 1) - a_{12}(\exp \phi_k/U_0 - 1) \quad (12)$$

$$I_k = a_{21}(\exp \phi_e/U_0 - 1) - a_{22}(\exp \phi_k/U_0 - 1) \quad (13)$$

kde  $\phi_e$  a  $\phi_k$  jsou napětí na přechodech emitoru a kolektoru ( kladný smysl přísluší spádu mezi P a N ).

$$\text{přitom } a_{12} = a_{21} \quad (14)$$

Na základě těchto rovnic lze dospět k výrazům vyjadřujícím chování tranzistoru v třech oblastech stat. charakteristik ( obr. 6 ) kde

v oblasti I ( nevodivá )

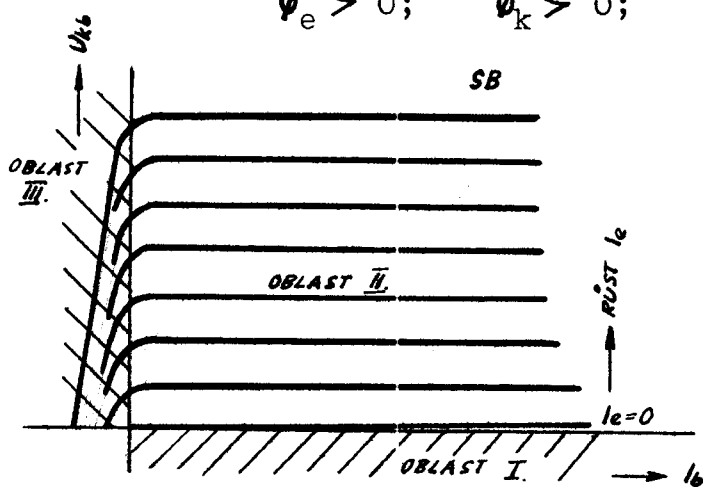
$$\phi_e < 0; \quad \phi_k < 0;$$

v oblasti II ( aktivní )

$$\phi_e > 0; \quad \phi_k < 0;$$

v oblasti III ( nasycená )

$$\phi_e > 0; \quad \phi_k > 0;$$



Obr. 5

Oblasti výstupních charakteristik tranz. v zapojení se společnou bází - SB

Rovnice (12), (13) lze vyjádřit náhradním obvodem (obr. 7) v němž jsou oba přechody nahrazeny idealizovanými diodami a ideálními zdroji proudu. Z náhradního obvodu plyne:

$$I_e = I_{ed} - \alpha_r I_{ki} \quad (15)$$

$$I_k = I_{kd} - \alpha_u I_{ei} \quad (16)$$

kde  $\alpha_u$  je proudové zesílení "normálního" zapojení SB a  $\alpha_r$  je zesílení "inverzního" zapojení SB (zaměněny úlohy emitoru a kolektoru). Dosadíme-li z rovnice (6) za proudy diod  $I_{kd}$  a  $I_{ed}$  dostaneme:

$$I_e = I_{ez}(\exp \phi_e/U_o - 1) - I_{kz}(\exp \phi_k/U_o - 1) \quad (17)$$

$$I_k = I_{kz}(\exp \phi_k/U_o - 1) - I_{ez}(\exp \phi_e/U_o - 1) \quad (18)$$

Od těchto rovnic přejdeme k rovnicím (12), (13)

V oblasti I je při  $\phi_e \ll 0$  a  $\phi_k \ll 0$

$$\exp \phi_e/U_o \approx \exp \phi_k/U_o \approx 0 \quad (19)$$

tím se rovnice (17), (18) zjednoduší na tvar:

$$I_e = -I_{ez} + \alpha_r I_{kz} \quad (20)$$

$$I_k = -I_{kz} + \alpha_u I_{ez} \quad (21)$$

Pro nulový proud emitoru a kolektoru dostaneme:

$$I_{ez} = \alpha_r I_{kz} \quad \dots \text{při } I_e = 0 \quad (22)$$

$$I_{kz} = \alpha_u I_{ez} \quad \dots \text{při } I_k = 0 \quad (23)$$

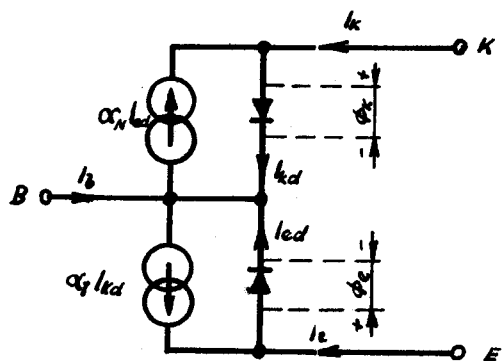
Dosadíme-li rovnici (23) do rovnice (20) a rovnici (22) do rovnice (21) dostaneme výrazy pro proudy

$I_{ko}$  a  $I_{eo}$  t. j. proudy procházející přechodem kolektoru při  $I_e = 0$  a přechodem emitoru při  $I_k = 0$

$$I_{ko} = - I_{kz} (1 - \alpha_n \alpha_r) \quad (24)$$

$$I_{eo} = - I_{ez} (1 - \alpha_n \alpha_r) \quad (25)$$

pozn.: U tranzistorů P-N-P mají směry těchto proudů opačný směr než je uvedeno na obr. 7



Obr. 7  
Náhradní obvod idealizovaného tranzistoru pro  
oblasti I, II, III,

Po dosazení do rovnic (17), (18) dostaneme

$$I_e = - \frac{I_{eo}}{1 - \alpha_n \alpha_r} (\exp \theta_e / U_o - 1) + \frac{\alpha_r I_{ko}}{1 - \alpha_n \alpha_r} (\exp \theta_k / U_o - 1) \quad (26)$$

$$I_k = \frac{\alpha_n I_{eo}}{1 - \alpha_n \alpha_r} (\exp \theta_e / U_o - 1) - \frac{I_{ko}}{1 - \alpha_n \alpha_r} (\exp \theta_k / U_o - 1) \quad (27)$$

Tím jsme definovali konstanty  $\alpha$  až  $a_{11}$  až  $a_{22}$   
konstantami  $I_{eo}$ ,  $I_{ko}$ .

$$a_{11} = - \frac{I_{eo}}{1 - \alpha_n \alpha_r} \quad a_{12} = + \frac{\alpha_r I_{ko}}{1 - \alpha_n \alpha_r} \quad (28)$$

$$a_{21} = + \frac{\alpha_n I_{eo}}{1 - \alpha_n \alpha_r} \quad a_{22} = - \frac{I_{ko}}{1 - \alpha_n \alpha_r} \quad (29)$$

$$I_{ko} = I_{eo} \quad (30)$$

### 3.05.1 Zjednodušené analytické vztahy

Dosadíme-li do rovnic (26), (27) z rovnice (19) dostaneme vztahy:

$$I_e = \frac{I_{eo}}{1 - \alpha_n \alpha_r} (1 - \alpha_n) \quad (31)$$

$$I_k = \frac{I_{ko}}{1 - \alpha_n \alpha_r} (1 - \alpha_r) \quad (32)$$

Použijeme-li obecného vztahu

$$I_b + I_e + I_k = 0 \quad (33)$$

dostaneme pro proud báze

$$I_b = - \frac{I_{eo}(1 - \alpha_n) + (1 - \alpha_r)I_{ko}}{1 - \alpha_n \alpha_r} \quad (34)$$

V oblasti II při  $\phi_k \ll 0$

$$I_e = - \frac{I_{eo}}{1 - \alpha_n \alpha_r} (\exp \phi_e / U_0 - 1) - \frac{\alpha_r I_{ko}}{1 - \alpha_n \alpha_r} \quad (35)$$

$$I_k = \frac{\alpha_n I_{eo}}{1 - \alpha_n \alpha_r} (\exp \phi_e / U_0 - 1) + \frac{I_{ko}}{1 - \alpha_n \alpha_r} \quad (36)$$

Sečteme-li obě rovnice dostaneme:

$$I_k = I_{ko} - \alpha_n I_e \quad (37)$$

anebo po dosazení z (33)

$$I_k = \frac{I_{ko}}{1 - \alpha_n} + \frac{\alpha_n}{1 - \alpha_n} I_b \quad (38)$$

Pro inverzní zapojení tranzistoru dostaneme analogicky:

$$I_e = I_{eo} - \alpha_r I_k \quad (40)$$

$$I_e = \frac{I_{eo}}{1 - \alpha_r} + \frac{\alpha_r}{1 - \alpha_r} I_b \quad (41)$$

Tyto vztahy platí pro oblast I a II.

Z nelineárních závislostí je důležitý vztah mezi proudem báze  $I_b$  a napětím na bázi  $U_b$

$$U_b = -\phi_e \quad \dots \text{tranz. P-N-P}$$

$$U_b = +\phi_e \quad \dots \text{tranz. N-PnN}$$

Výraz definující tento vztah vyplýne z rovnic (35), (36)

$$I_b = -(I_k + I_e) = \frac{-(1 - \alpha_n) I_{eo}}{1 - \alpha_n \alpha_r} (\exp U_b / U_o - 1) - \frac{(1 - \alpha_r) I_{ko}}{1 - \alpha_n \alpha_r} \quad (42)$$

$$\text{Při } U_b = 0 \quad I_b = -\frac{(1 - \alpha_r) I_{eo}}{1 - \alpha_n \alpha_r} ; I_k = \frac{I_{ko}}{1 - \alpha_n \alpha_r} \quad (43)$$

Při  $I_b = 0$

$$U_b = U_o \ln \left[ \frac{(1 - \alpha_r) I_{eo}}{1 - \alpha_n} + 1 \right] ; I_k = \frac{I_{ko}}{1 - \alpha_n} \quad (44)$$

V oblasti III má důležitý význam napětí mezi kolektorem a emitorem  $U_{ke}$  a poměr změny  $U_{ke}$  k změně  $I_k$  t. j. dynamický odpor sepnutého tranzistoru

$$r_s = r_{fe} = dU_{ke} / dI_k$$

Mají-li v oblasti III diody předpětí v propustném směru a  $\phi_e \gg 0$ ,  $\phi_k \gg 0$ , vyplývá z rovnic (26), (27)

$$\phi_e = U_o \ln \left[ -\frac{I_e + \alpha_s I_k}{I_{eo}} + 1 \right] \approx U_o \ln \left[ -\frac{I_e + \alpha_s I_k}{I_{eo}} \right] \quad (45)$$

$$\phi_k = U_o \ln \left[ \frac{-(I_k + \alpha_n I_e)}{I_{ko}} + 1 \right] \approx U_o \ln \left[ -\frac{I_k + \alpha_n I_e}{I_{ko}} \right] \quad (46)$$

$$U_{ke} = \phi_k - \phi_e = U_o \ln \frac{(I_k + \alpha_n I_e) I_{eo}}{(I_e + \alpha_s I_k) I_{ko}} \quad (47)$$

Po dosazení z rovnice (30) a (33)

$$U_{ke} = \pm U_o \ln \frac{\alpha_s \left[ 1 - \frac{I_k}{I_b} \frac{1 - \alpha_n}{\alpha_n} \right]}{1 \pm \frac{I_k}{I_b} (1 - \alpha_s)} \quad (48)$$

Kladné znaménko platí pro tranzistor P-N-P, záporné pro N-P-N.

Dynamický odpor sepnutého tranzistoru

$$r_{ke} = \frac{dU_{ke}}{dI_k} = \pm U_o \left\{ \frac{1 - \alpha_n}{\alpha_n (I_b - I_k \frac{1 - \alpha_n}{\alpha_n})} + \right. \\ \left. + \frac{1 - \alpha_s}{I_b + I_k (1 - \alpha_s)} \right\} \quad (49)$$

Je-li možno zanedbat  $I_k (1 - \alpha_n) / \alpha_n$  a  $I_k (1 - \alpha_s)$  vůči  $I_b$  pak platí přibližně

$$r_{ke} \approx U_o \left( \frac{1}{\alpha_n} - \alpha_s \right) \frac{1}{I_b} \quad (50)$$

3.05.2 Náhradní obvody tranzistorů.

Rovnice (35), (36) lze převést na jednodušší tvar,

$$I_e = - \frac{I_{eo}}{1 - \alpha_N \alpha_I} \exp \frac{\phi_e / U_0}{\alpha_N \alpha_I} + \frac{(1 - \alpha_N) I_{eo}}{1 - \alpha_N \alpha_I} \quad (51)$$

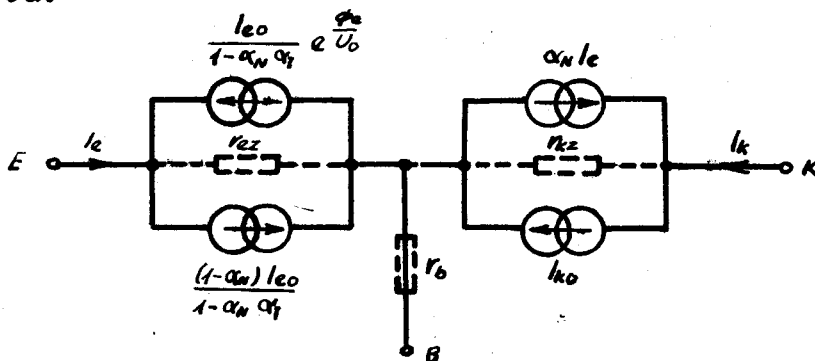
$$I_k = - \alpha_N I_e + I_{ko} \quad (52)$$

které vedou k náhradnímu obvodu tranzistoru na obr.8.

Do obvodu je zahrnut odpor báze, kterým se přihlíží k měrnému odporu polovodiče a svodové odpory kolektoru a emitoru  $r_{kz}$  a  $r_{ez}$  vyjadřující odpor přechodů při závěrném předpětí. Omezíme-li se pouze na malé signály, můžeme zapojení náhradního obvodu upravit podle obr. 9 , kde

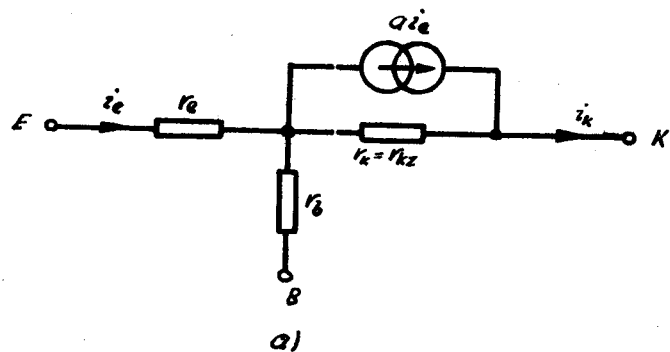
$$r_e = \frac{dU_e}{dI_e} = \frac{U_0}{I_e - \frac{I_{eo}}{1 - \alpha_N \alpha_I}} \stackrel{!}{=} \frac{0,026}{I_e} \quad (53)$$

V upraveném obvodu je směr proudu změněn; zjednoduší se tím vztahy při výpočtu vícestupňových zesilovačů.

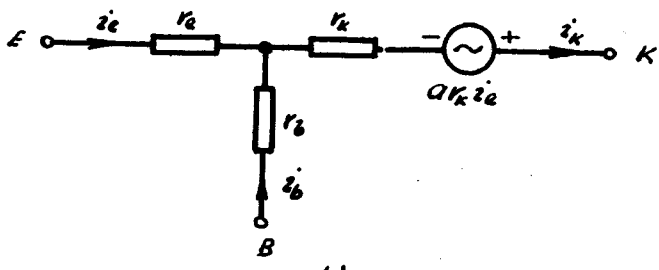


Obr. 8  
Náhradní obvod tranzistoru.

Parametr  $\alpha_n$  je nahrazen parametrem  $\alpha$ . Tím je jednak odlišen poměr proudových změn  $i_k/i_e = \alpha$  od poměru klidových proudů  $I_k/I_e = \alpha_n$  a jednak je vzat zřetel na definici proudového zesil. činitele  $\alpha = -h_{21b}$ , podle níž je  $\alpha$  proudové zesílení tranzistoru v zapojení SB nakrátko.



a)



b)

Obr. 9

Upravený náhradní obvod tranzistoru.

Pro vztah mezi  $\alpha$  a  $\alpha_n$  vyplývá z obr. 9avýraz:

$$\frac{i_{k,k}}{i_e} = \alpha = - h_{21b} = \frac{\alpha + \frac{r_b}{r_k}}{1 + \frac{r_b}{r_k}} \quad (54)$$

Protože je i nepatrný rozdíl mezi  $\alpha_n$  a  $\alpha$  můžeme psát docela přesně  $\alpha \approx \alpha_n$

Pro dva okruhy náhradního obvodu můžeme napasat:

$$\begin{aligned} u_1 &= i_1(r_e + r_b) + i_2 r_b \\ u_2 &= i_1(r_k + r_b) + i_2(r_k + r_b) \end{aligned} \quad (55)$$

Po úpravě a porovnání s e čtyřpolovými rovniciemi dospějeme k výrazům vyjadřující vlastní parametry pomocí "h" parametrů, které se snáze měří a které také udává výrobce tranzistorů.

Upravíme-li si náhradní obvod z obr. 9b pro zapojení se společným emittorem SE (obr. 10a) dostaneme pro výstupní okruh rovnici

$$u_2 = \alpha r_k i_e - i_k r_k - i_e r_e \quad \text{kde } i_e = -i_b + i_k$$

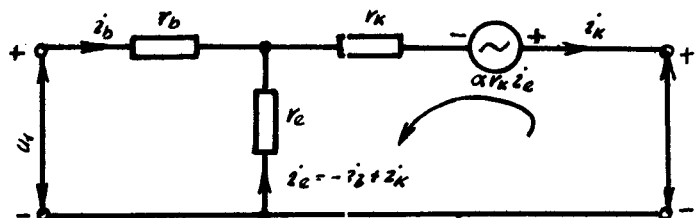
po vyloučení  $i_e$

$$u_2 = -\alpha r_k i_b - (1 - \alpha) r_k i_k + r_e(i_b - i_k) \quad (56)$$

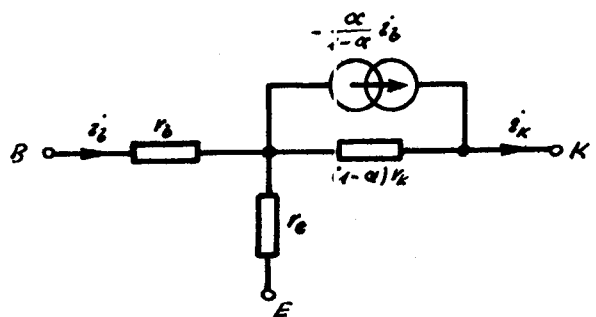
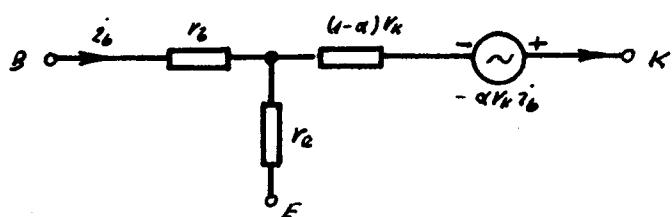
je jasné, že chceme-li v náhradním obvodu použít zdroje napětí závislého na  $i_b$ , musíme změnit jeho polaritu a zaměnit odpor  $r_k$  odporem  $(1 - \alpha) r_k$ . (obr. 10b)  
Náhradní obvod ze zdrojem proudu je na obr. 10c.

Proudové zesílení  $\alpha/(1 - \alpha)$  považujeme za nový

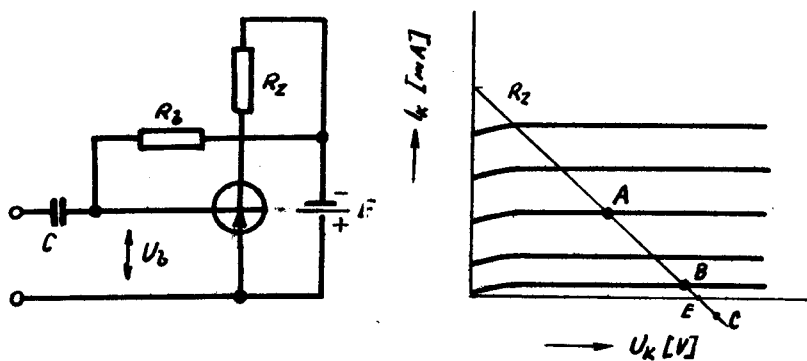
parametr  $\beta$  - proudové zesílení v zapojení se společným emitorem.



a)



Obr. 10  
Náhradní obvody tranzistoru v zapojení SE



Obr. 11.

Zapojení SE a příslušné výstupní charakteristiky.

4.00. Napájecí obvody tranzistoru a stabilizace  
- pracovního bodu.

4.01. Určení pracovního bodu tranzistoru.

Podkladem pro volbu pracovního bodu jsou statistické charakteristiky v příslušném zapojení. Poloha pracovního bodu je určena velikostí  $U_k$ ,  $I_k$ ,  $I_b$ .

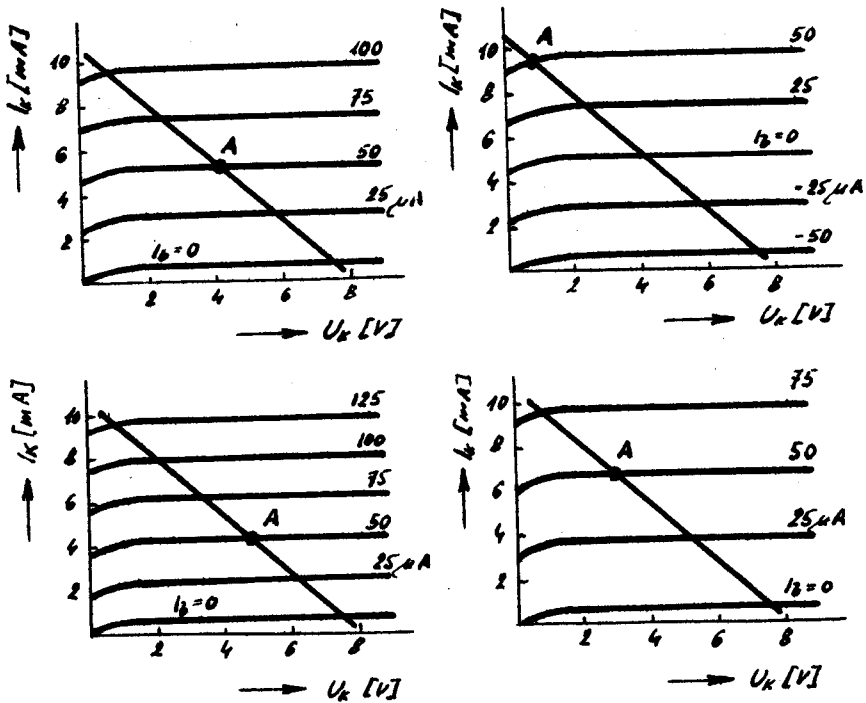
( Uvažujeme zapojení SE, protože se nejčastěji vyskytuje. Úvahy však platí i pro ostatní druhy zapojení). Volíme ji tak, aby při maximálním rozkmitu signálu pracoval tranzistor ještě v propustné oblasti.

Graficky je znázorněna poloha pracovního bodu na obr.11. Zatěžovací přímka  $R_z$  odpovídá odporu mezi kolektorem a emitorem a protíná osu kolektorového napětí v bodě E, který odpovídá napětí napájecí baterie. Polohu pracovního bodu na této přímce určuje proud báze. Podle jeho velikosti může tranzistor pracovat v etážích A,B nebo C. Polohy těchto pracovních bodů jsou vyznačeny na obr.11. Proud určíme zařazením odporu  $R_b$  mezi zdroj kolektorového napětí a bázi. Jeho velikost určíme ze vztahu:

$$R_b = \frac{E - U_b}{I_b} \doteq \frac{E}{I_b} \quad (57)$$

Je zřejmé, že poloha prac. bodu bude závislá na změnách charakteristik a parametrů tranzistoru.

Tyto změny jsou vyznačeny na obr.12.



Obr. 12.

Změna polohy pracovního bodu v síti výstup. chrakt.

a - původní poloha, b - změna vzhůstem  $I_{KO}$

c - změna zmenšením , d - změna zvětšením .

Z obrá **1e** je zřejmé, že tranzistor může úplně ztratit schopnost pracovat.

4.02. Činitelé mající vliv na polohu pracovního bodu.

Hlavním faktorem, který způsobuje změnu polohy pracovního bodu je změna zvyškového proudu. Zvyško-

vý proud roste exponenciálně s teplotou. Teoreticky by neměl záviset na přiloženém napětí, ale ve skutečnosti vzrůstá s napětím vplyvem nečistot polovodiče. (Jedná se o povrchové nečistoty). Závislost  $I_{kbo}$  a  $I_{keo}$  je zobrazena na obr. 13.  $I_{kbo}$  je zvyškový proud při zapojení SB a  $I_{keo}$  je zvyškový proud při zapojení SE. Z průběhu grafu vidíme, že proud při malých napětích stoupá s napětím až dosáhne hodnoty, která je konstantní v širší oblasti. Když se velikost napětí blíží hodnotě průrazného napětí přechodu, zvyškový proud začne rychle narůstat. Průběh této křivky do značné míry mluví o kvalitě tranzistoru. Oblast A-B se požaduje co nejdelší. V oblasti B je def. maximální pracovní napětí. Tranzistory s křivkou (1) jsou teplotně nestabilní, mají malou účinnost a zkreslují signál.

$I_{kbo}$  se zdvojnásobí při stoupení teploty o  $8 - 10^{\circ}\text{C}$ ,  $I_{keo}$  při stoupení teploty o  $5 - 7^{\circ}\text{C}$ .

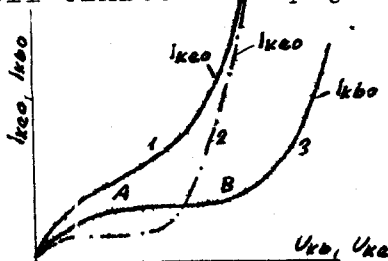
Rychlejší růst  $I_{keo}$  s teplotou je způsoben tím, že při zapojení se společným emitorem se vnitřní teplota tranzistoru zvětšuje vplyvem kolektorové ztráty zvyškového proudu, který v důsledku toho roste rychleji.

Při  $I_{kbo}$  a  $I_{keo}$  platí vztah:

$$I_{keo} = I_{kbo} (1 + \beta) \quad (58)$$

kde  $\beta$  je proudový zesilovací činitel v zapojení SE.

Obr. 13  
Závislost  $I_{kbo}$  a  $I_{keo}$  na  
napětí kolektoru



4.03 Volba velikosti stabilizačního činitele.

Stabilizační činitel je definován jako poměr přírůstku kolektorového proudu k přírůstku zbytkového proudu.

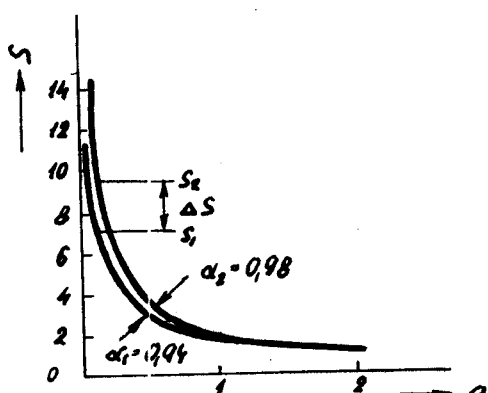
$$S = \frac{I_k}{I_{ko}} \quad (59)$$

Dle jednotlivých druhů stabilizačních zapojení můžeme stabilizačního činitela vyjádřit vztahem

$$S = \frac{1 + \alpha}{1 - \alpha + \alpha} \quad (60)$$

kde  $\alpha$  je konstanta pro jednotlivé druhy zapojení / 1 /.

Grafické znázornění této rovnice je na obr. 14



Obr14.

Z průběhu křivky je vidět, že s rostoucím  $\alpha$  S ze začátku rychle klesá. Za ohybem křivky zůstává prakticky konstantní. Nejpřísnější požadavky vyžadují hodnotu a v oblasti ohybu, kde má S hodnotu 1,5 - 2.

Další zvyšování  $\alpha$  klade vysoké požadavky na napájecí zdroje, které nejsou úměrné zlepšení teplotní stabilizace.

Uvedené hledisko volby činitele  $S$  vychází ze změny zvyškového proudu v závislosti na teplotě. Je nutno si uvědomit, že se jedná o teplotu přechodu. Při malých výkonech je to prakticky teplota okolí, při větších výkonech se zvyšuje teplota přechodu vlivem rozptylu energie na kolektorovém přechodu.

V tomto případě je teplota přechodu

$$t_p = t_o + K_t \cdot N_k \quad (61)$$

kde  $t_o$  - teplota okolí,  $K_t$  - teplotní odpor

$N_k$  - Ztráta na kolektorovém přechodu

Přesné vzato měla by se uvažovat i ztráta na emitorovém přechodu. Jelikož však  $U_{eb} \ll U_{kb}$  můžeme výraz

$N_e = U_{kb} I_e$  oproti  $N_k = U_{kb} I_k$  zanedbat.

Celková ztráta na kolektoru bude

$$N_k = U_{kb} I_k + U_{kb} S I_{kbo} \quad (62)$$

a vnitřní teplota tranzistoru

$$t_p = t_o + K_t N_k$$

Pro tepelnou rovnováhu při libovolné teplotě můžeme napsat

$$t - t_l = t_o + K_t U_{kb} I_k \quad (63)$$

a dále

$$t_p - t_l = S K_t U_{kb} I_{kbo}(t_p) \quad (64)$$

Přitom platí

$$I_{kbo(t_p)} = I_{kbo(t_1)} \exp (t_p - t_1) k \quad (65)$$

Dosadíme-li do vztahu (64) dostaneme

$$t_p - t_1 = SK_t U_{kb} / I_{kbo(t_1)} \exp (t_p - t_1) k \quad (66)$$

Grafické řešení této rovnice pro germaniové tranzistory je na obr. 15. Vidíme, že existuje maximum

hodnoty při které bude tranzistor ještě pracovat

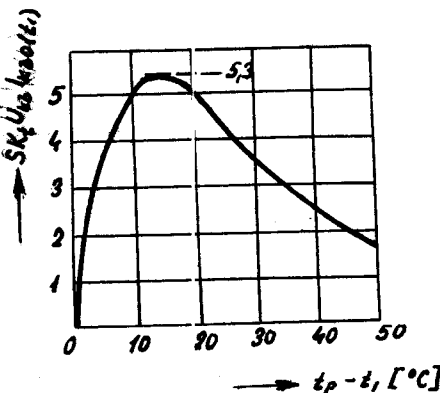
stabilně. Maximum má hodnotu 5,3. Při této hodnotě

je  $t_p - t_1 = 14,4$  °C. Ma-li tedy tranzistor pracovat stabilně, nesmí teplota jeho kolektorového přechodu při použití max. činitele S, převyšovat teplotu

okolí o víc než 14,4 °C. Tento závěr můžeme vyjádřit

vztahem

$$S \leq \frac{5,3}{K_t U_{kb} I_{kbo(t_1)}} \quad (67)$$



Obr. 15.

Grafické řešení rovnice (66).

4.04. Teplotní stabilizace odporem v emitoru  
a děličem v bázi.

Jak bylo uvedeno v předcházejících statích je nutno stabilizovat pracovní bod tranzistorů. Jedním z nejúčinnějších způsobů stabilizace je stabilizace odporem v emitoru a děličem v bázi. Z obvodu na obr. 16 dostaneme :

$$E - I_2 R_2 - I_3 R_3 = 0$$

$$E - I_4 R_4 - I_5 R_5 = 0$$

$$I_2 R_2 = I_4 R_4 = R_1 (I_{el} + I_{ec})$$

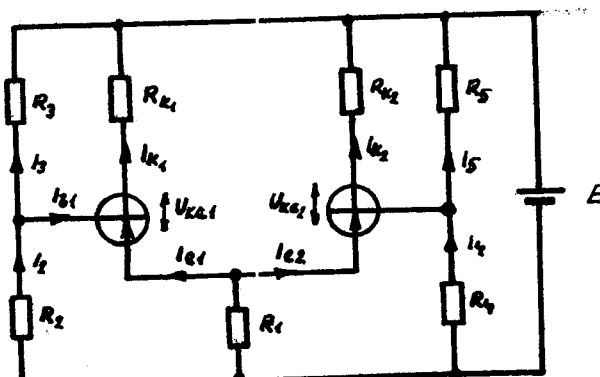
$$I_{bl} = -I_3 + I_2$$

$$I_{bz} = -I_5 + I_4$$

$$I_{kl} = \alpha_1 I_{el} + I_{kbo}$$

$$I_{k2} = I_{ec} \alpha_2 + I_{kbo}$$

$$I_{el,2} = I_{kl,2} + I_{bl,2}$$



Obr. 16.

Teplotní stabilizace odporem v emitoru a děličem v bázi

Řešením těchto rovnic dospejeme ke vztahu:

$$I_{kl} \left[ (1 - \alpha_1) + A + B \frac{\alpha_1}{\alpha_2} \right] - I_{kbol} \left[ 1 + A + B \frac{\alpha_1}{\alpha_2} \right] - \frac{E}{R_3} = \\ = - I_{k2} \left[ (1 - \alpha_2) + B + A \frac{\alpha_1}{\alpha_2} \right] + I_{kbo2} \left[ 1 + B + A \frac{\alpha_1}{\alpha_2} \right] + \frac{E}{R_5}; \quad (68)$$

Derivováním tohoto vztahu podle  $I_{kbol}$  a  $I_{kbo2}$  dostaneme výrazy pro  $S_1$  a  $S_2$ , což jsou stabilizační činitelé, jejichž definice byla podána v kap. 4.03.

Po zderivování a úpravě dostaneme

$$S_1 = \frac{1 + A + B \frac{\alpha_1}{\alpha_2}}{1 - \alpha_1 + A + B \frac{\alpha_1}{\alpha_2}} \quad (69)$$

$$S_2 = \frac{1 + B + A \frac{\alpha_1}{\alpha_2}}{1 - \alpha_2 + B + A \frac{\alpha_1}{\alpha_2}} \quad (70)$$

kde

$$A = R_1 \frac{R_2 + R_3}{R_2 \cdot R_3}; \quad B = R_1 \frac{R_4 + R_5}{R_4 \cdot R_5}; \quad (71)$$

Vyjádříme-li si rovnici (68) pomocí stabilizačních činitelů dostaneme

$$\left( -\frac{E}{R_3} (S_1 - 1) + I_{kl} - S_1 I_{kbol} \right) \frac{S_1 \alpha_1 - 1}{S_1 - 1} = \\ = \left( \frac{E}{R_5} (S_2 - 1) + I_{k2} + S_2 I_{kbo2} \right) \frac{S_2 \alpha_2 - 1}{S_2 - 1} \quad (72)$$

VŠST  
LIBEREC

Zařízení pro měření šířky  $\star$   
tkaniny.

DP

36

5. LISTOPADU 1966

D. Malík

Ze vztahu (72) si při známém  $S_1$ ,  $S_2$ ,  $I_{kl}$ ,  $I_{k2}$ ,  $\alpha_4\%$ ,  
 $I_{kbo1}$ ,  $I_{kbo2}$  a zvoleném poměru  $R_3/R_5$  lehce spočítáme  
pro dané napájecí napětí  $E$  velikost odporů  $R_3$  a  $R_5$ .  
Ostatní odpory se určí z Ohmova zákona.

VŠST  
LIBEREC

Zařízení pro měření  
šířky tkaniny.

DP  
5. LISTOPADU 1966  
D. Malík

38

### 5.00. Přenosové konstanty zesilovacích stupňů.

K definici statického přenosu zesilovacích stupňů stačí obecně tři konstanty: Zesílení  $k_s$ , vstupní odpor  $r$  a výstupní odpor  $R_s$ .

Pokud jde o zesílení, máme na mysli u tranzistorových stupňů zesílení proudu

$$k_{si} = k_s = \frac{i_s}{i} \quad (73)$$

kde  $i_s$  je výstupní proud,  $i$  - vstupní proud stupně. Chceme-li znát i napěťové zesílení použijeme vzta-

hu

$$k_{su} = \frac{u_s}{u} = \frac{i_s R_z}{i r} = k_{si} \frac{R_z}{r} \quad (74)$$

kde  $R_z$  - zatěžovací odpor,  $r$  - vstupní odpor,

### 5.01. Výpočet přenosových konstant rozdílových stupňů.

Jelikož je použito v navrhovaném zařízení rozdílových stupňů omezíme se pouze na tyto rozdílové stupňě. Postup výpočtu přenosových konstant je však stejný i pro ostatní druhy zesilovacích stupňů.

Při výpočtu vyjdeme z náhradního schématu na obr. 17. Náhradní obvod definuje rovnice

$$u_1 = i_1(R_{bl} + R_{el} + R) + i_2 R - i_{sl}(R_{el} + R) - i_{s2} R \quad (75)$$

$$u_2 = i_1 R + i_2(R_{b2} + R_{e2} + R) - i_{sl} R - i_{s2}(R_{el} + R) \quad (76)$$

$$i_1(R_{el} + R) + i_2 R - i_{s2}(R_k + R) - i_{sl}(R_{el} + (1 - \alpha)r_{kl} + R_{z1} + R_k + R) - \alpha r_{kl} i_1 = 0 \quad (77)$$

$$i_1 R + i_2(R_{e2} + R) - i_{s2}(R_{el} + (1 - \alpha)r_{k2} + R_{z2} + R_k + R) - i_{sl}(R_k + R) - \alpha r_{k2} i_2 = 0 \quad (78)$$

kde

$$R_{bl,2} = R'_{bl,2} + r_{bl,2}$$

$$R_{el,2} = R'_{el,2} + r_{el,2}$$

$$R_{z1} = \frac{R_z R_{kl}}{R_z + R_{kl} + R_{k2}} ; \quad R_{z2} = \frac{R_z R_{k2}}{R_z + R_{kl} + R_{k2}} ;$$

$$R_k = \frac{R_{kl} R_{k2}}{R_z + R_{kl} + R_{k2}} ;$$

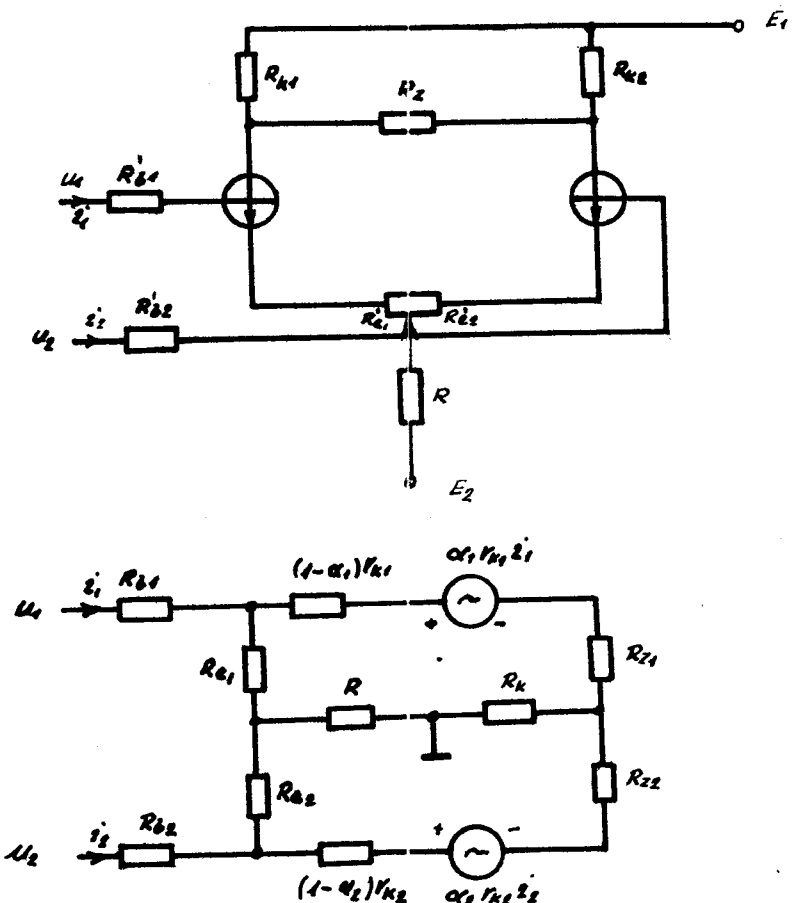
Odpory  $r_b$ ,  $r_e$ ,  $r_k$  jsou jednotlivé odpory elektrod

Odpory  $R_{z1}$ ,  $R_{z2}$ ,  $R_k$  vznikly přeměnou trojúhelníku

$R_{kl} - R_{k2} - R_z$  na hvězdu  $R_{z1} - R_{z2} - R_k$  /11/.

Vstupní odpor určíme z rovnic (75) a (76) a zesílení určíme z rovnic (77) a (78).

Náhradní obvod je sestaven ze dvou základních obvodů SE odvozených v kapitole 3.05.2.



Obr. 1".

Tranzistorový rozdílový stupeň a příslušný náhradní obvod.

#### 5.01.1 Výpočet zesílení.

Zesílení rozdílového stupně je definováno jako poměr rozdílů výstupních signálů k rozdílu vstupních.

$$k_{S_i} = \frac{i_{S1} - i_{S2}}{i_1 - i_2} \quad (79)$$

VŠST  
LIBEREC

Zařízení pro měření  
šířky tkaniny.

DP  
5. LISTOPADU 1966  
D. Malík

Odečteme-li od sebe rovnice (77) a (78) dostaneme

$$i_1(R_{el} - \alpha_1 r_{kl}) - i_2(R_{e2} - \alpha_2 r_{k2}) - i_{sl}(R_{el} + (1 - \alpha_1)r_{kl} + R_{z1} + i_{s2} R_{e2} * (1 - \alpha_2)r_{k2} + R_{z2}) = 0 \quad (80)$$

Z této rovnice vyplýne pro  $i_2=0, i_{s2}=0$  výraz  
pro  $k_{sil}$

$$k_{sil} = \frac{R_{el} - \alpha_1 r_{kl}}{R_{el} + (1 - \alpha_1)r_{kl} + R_{z1}} \quad (81)$$

Analogicky pro  $i_1=0, i_{sl}=0$  dostaneme  $k_{si2}$

$$k_{si2} = \frac{R_{e2} - \alpha_2 r_{k2}}{R_{e2} + (1 - \alpha_2)r_{k2} + R_{z2}} \quad (82)$$

Jelikož  $R_e \ll r_k$  můžeme rovnice (81), (82) zjednodušit na tvar

$$k_{sil,2} = \frac{R_{el,2} - \alpha_{12} r_{kl,2}}{R_{el,2} + (1 - \alpha_{12})r_{kl,2} + R_{z1,2}} =$$

$$= \frac{-\alpha_{12}}{1 - \alpha_{12}} \frac{1}{1 + \frac{R_{el,2} + R_{z1,2}}{(1 - \alpha_{12})r_{kl,2}}} =$$

$$\hat{=} -\beta_{el} \frac{1}{1 + \frac{R_{el,2} + R_{z1,2}}{(1 - k_{el}) r_{kl,2}}} \quad (83)$$

5.01.2. Výpočet vstupního odporu.

Vstupní odpor stupně je definován jako po-  
měr vstupního napětí k vstupnímu proudu:

$$r = \frac{u}{i} \quad (84)$$

Dosadíme-li do rovnic (75), (76) výraz  $i_s = k_{si} i$   
dostaneme po úpravě

$$\frac{u_1}{1 - k_{sil}} = i_1 \frac{R_{bl}}{1 - k_{sil}} + R_{el} + R - R_{i2} \frac{1 - k_{si2}}{1 - k_{sil}} \quad (85)$$

$$\frac{u_2}{1 - k_{si2}} = \frac{R_{b2}}{1 - k_{si2}} + R_{e2} + R - R_{i1} \frac{1 - k_{sil}}{1 - k_{si2}} \quad (86)$$

Dosadíme-li teď rovnici (86) při  $u_2 = 0$  do rovnice  
(85) dostaneme po úpravě

$$r_1 = \frac{u_1}{i_1} = (1 - k_{sil}) T_1 + R - \frac{R^2}{T_2 + R} \quad (87)$$

Podobným postupem dostaneme výraz pro  $r_2$

$$r_2 = \frac{u_2}{i_2} = (1 - k_{si2}) T_2 + R - \frac{R^2}{T_1 + R} \quad (88)$$

VŠST  
LIBEREC

Zařízení pro měření  
šířky tkaniny.

DP 42  
5. LISTOPADU 1966  
D. Malík

kde

$$T_{1,2} = \frac{R_{bl,2}}{1 - k_{sil,2}} + R_{el,2} \quad (89)$$

Je-li  $T_{1,2} \ll R$ , lze rovnici (88) upravit na  
tvar

$$r_{1,2} = (1 - k_{sil,2}) (T_1 + T_2) \quad (90)$$

### 5.01.3. Výpočet výstupního odporu.

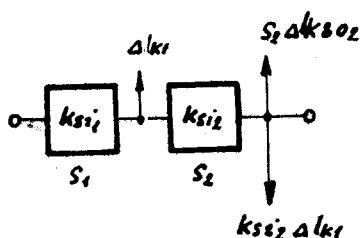
Výstupní odpor se vypočte ze vztahu/5/:

$$r_{sl,2} = \frac{r_{k,2}}{\beta_{1,2}}$$

6.00. Teplotní stabilizace stejnosměrných zesilovačů.

U stejnosměrných zesilovačů je teplotní stabilita mnohem závažnějším problémem, než je tomu u zesilovačů střídavých. Stejnosměrné zesilovače pracují totiž s přímovázanými stupni, takže se změny jednoho stupně přenášejí na druhý, zesílené proudovým zesílením dalšího stupně. U střídavých zesilovačů tento problém odpadá, neboť u těch jsou jednotlivé stupně odděleny a stačí provést stabilizaci každého stupně zvláště.

Budeme se zabývat dvoustupňovým zesilovačem jehož blokové skupinové schema je na ob. 18.



Obr. 18.

Skupinové schema dvoustupňového zesilovače.

Přírůstek proudu  $I_{k1}$  prvního tranzistoru je zesílen  $k_{si2}$ krát, Celkový přírůstek  $\Delta I_{k2}$  způsobený změnami  $I_{kbo1}$  a  $I_{kbo2}$ , vyjadřuje rovnice

$$I_{k2} = k_{si2} S_1 \Delta I_{kbo1} + S_2 \Delta I_{kbo2} \quad (91)$$

Má-li se zajistit kompenzace vlivu teploty, musí být změna proudu  $I_{k2} = C$  pro zvolený rozsah teplot. Z této podmínky plynne

$$k_{si2} S_1 \Delta I_{kbol} + S_2 \Delta I_{kbo2} = 0 \quad (92)$$

Lze toho dosáhnout splněním jedné ze čtyř podmínek uvedených v dalším textu, za předpokladu, že proudy

$\Delta I_{kbol}$  a  $\Delta I_{kbo2}$  mají totéž znaménko. Podmínky kompenzace jsou

$$\begin{aligned} k_{si2} < 0, \quad S_1 < 0, \quad S_2 < 0 \\ k_{si2} < 0, \quad S_1 > 0, \quad S_2 > 0 \\ k_{si2} > 0, \quad S_1 < 0, \quad S_2 > 0 \\ k_{si2} > 0, \quad S_1 > 0, \quad S_2 < 0 \end{aligned} \quad (93)$$

Teplotní kompenzaci lze provést také tak, že pro zesilovač použijeme jednoho tranzistoru typu P-N-P a jednoho N-P-N. Rovnici (92) lze splnit i jinými způsoby. Z rovnice (92) plynne za předpokladu stejného  $S_1$  a  $S_2$

$$\Delta I_{kbo2} = -k_{si2} I_{kbol} \quad (93)$$

Z této podmínky je zřejmé, že pro každé  $k_{si2}$  lze vybrat dvojici tranzistorů tak, aby byla splněna rovnice (93) a naopak pro každou hodnotu  $\Delta I_{kbol}$  lze podle rovnice (93) zvolit  $k_{si2}$ . Musíme si však uvědomit, že k splnění předpokladu  $S_1 = S_2$  je též třeba, aby  $R_{G1}$  a  $R_{G2}$  byly přibližně stejné.

VŠST	Zařízení pro měření šířky tkaniny.	DP	45
LIBEREC		5. LISTOPADU 1966	
		D. Malík	

$R_g$  - odpor (vnitřní) zdroje signálu pro stupeň.

Při tomto způsobu teplotní kompenzace je třeba, aby chom v prvním stupni použili tranzistoru s malým  $I_{kbo}$  a v druhém s velkým  $I_{kbo}$ .

7.00. Stabilizace napětí.

K napájení měřících a regulačních obvodů používáme často zdrojů, které mají velmi "tvrdé" napětí, možno říci konstantní. Používá se k tomu součástek u kterých napětí vzniklé průchodem proudu, je velmi málo závislé na tomto proudu. Používá se k tomu doutnavek nebo zvláštních polovodičových prvků -

- Zenerových diod.

Na obr. 19. je charakteristika Zenerovy diody, na obr. 20.a je základní zapojení stabilizačního obvodu a na obr. 20b je jeho náhradní schema. Pro stabilizaci se využívá malého dynamického odporu  $r_z$ , který dioda vykazuje, prochází-li jí tzv. Zenerův proud  $I_z$ .

Podmínky funkce obvodu na obr. 20a jsou:

- 1) vstupní napětí  $U_i$  musí být větší než  $|U_z|$
- 2) sériový odpor  $R_s$  musí být zvolen tak, aby zatěžovací přímka protla charakteristiku v oblasti Z, jak ukazuje např. přímka 1 na obr. 19.

Z obr. 19 současně vyplýva stabilizační mechanizmus Zenerovy diody. Zvětší-li se napětí o  $\Delta U_i$  (viz přímka 2), zvětší se napětí na diodě pouze o  $\Delta U_0$ , čili o hodnotu podstatně menší než  $\Delta U_i$ . Volba pracovního bodu diody v oblasti Z je na jedné straně omezena největším Zenerovým proudem  $I_{zn}$ , popř. největším elektric-

kým výkonem, který se může na diodě proměnit v teplo.

Jelikož tento výkon je přibližně  $P_{zm} = U_z I_z$  musí platit

$$I_{zm} \leq \frac{P_{zm}}{U_z} \quad (94)$$

Nedoporučuje se zpravidla volit pracovní proud menší než  $I_z = 0,2 I_{zm}$ , protože potom je již napětí na diodě silně závislé na proudu procházejícím diodou.

Závislost na svorkách diody můžeme v prvním přiblížení vyjádřit vztahem

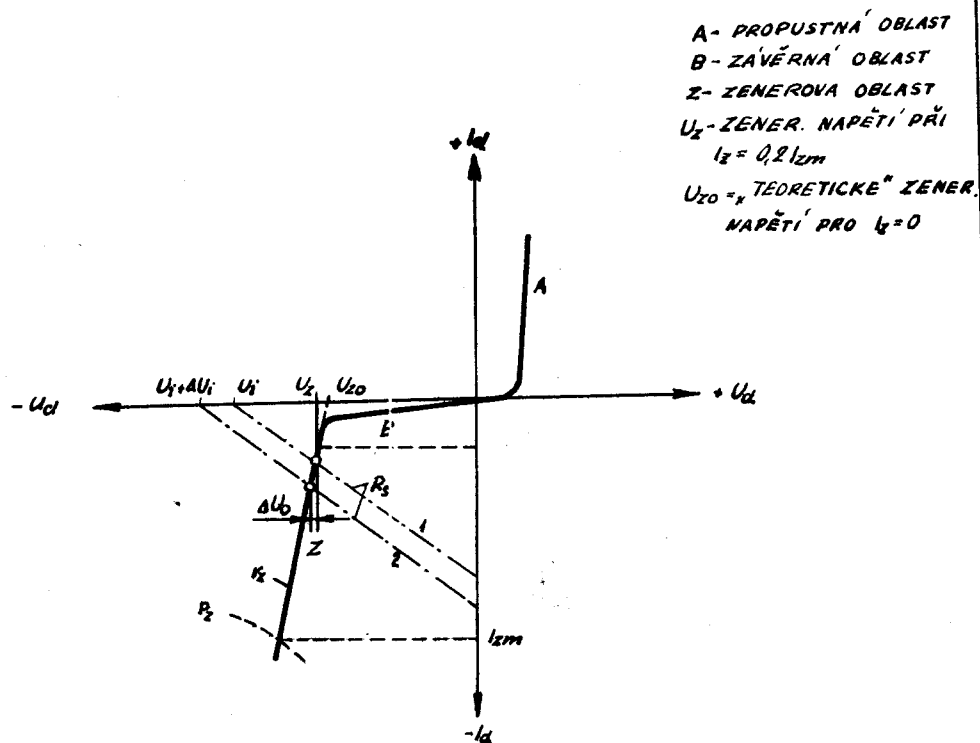
$$U_o = U_z + (I_z - 0,2 I_{zm}) r_z = U_{zo} + I_z r_z \quad (95)$$

kde  $U_{zo}$  je jakési teoretické napětí pro  $I_z = 0$

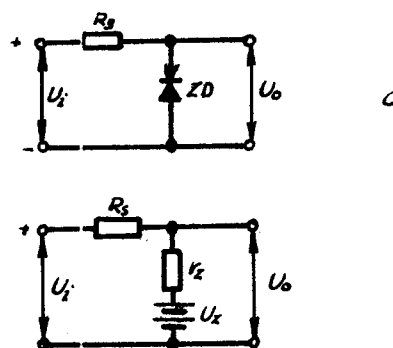
Počle toho lze tedy vlastnosti diody, pracující v oblasti Z, přibližně zobrazit lineárním obvodem skládajícím se z ideálního zdroje napětí  $U_z$  v sérii s odporem  $r_z$ . Toto náhradní schéma je na obr. 20b.

#### 7.01. Můstkový stabilizátor se Zenerovou diodou.

Pomocí jednoduchého stabilizačního obvodu obr. 20a lze dosáhnout činitele stabilizace asi 200 a v každém zapojení dvou těchto obvodů přibližně 3000. Stabilizační činitel je definován jako poměr relativní změny vstupního napětí k relativní změně výstupního napětí. Označíme-li si relativní změnu



Obr. 19.  
Charakteristika Zenerovy diody



Obr. 20

- a - základní zapojení stabilizačního obvodu  
 b - přibližné náhradní schéma

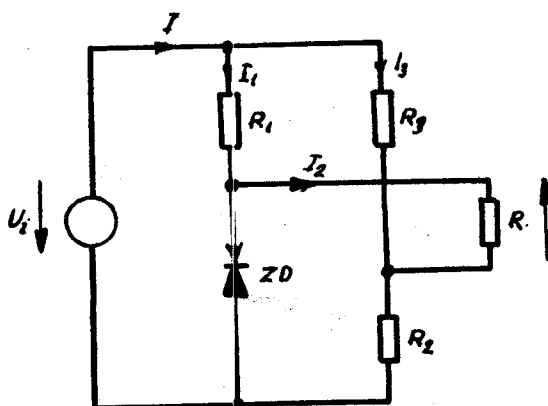
vstupního napětí jako  $\frac{4U_i}{U_{Z0}}$  a relativní změnu

výstupního napětí jako  $\frac{4U_o}{U_{Z0}}$  dostaneme

$$S_u = \frac{4U_i/U_i}{4U_o/U_o} = \frac{U_o}{U_i} - \frac{4U_i}{4U_o} \quad (96)$$

Čím je tento činitel větší, tím méně závisí výstupní napětí na vstupním napětí.

Je-li relativní změna výstupního napětí pro určité pásmo relativní změny vstupního napětí nulová, je činitel stabilizace nekonečný, stabilizace je ideální. Takové stabilizace se dosahuje složitými elektronkovými nebo tranzistorovými stabilizátory. Je zajímavé, že i pomocí jedné nebo i dvou ZD a pomocí dalších dvou nebo tří odporů se dá dosáhnout v určitém rozmezí ideální stabilizace. Tento obvod je můstkový stabilizátor (obr. 21).



Obr. 21.

Můstkový stabilizátor napětí s jednou ZD

VŠST  
LIBEREC

Zařízení pro měření šířky  
tkaniny.

DP

50

5. LISTOPADU 1966

D. Malík

Stabilizační funkce je následující: Zvýší-li se vstupní napětí  $U_i$ , stoupne i proud protékající ZD a tím stoupne napětí na ní v bodě A. Současně stoupne i napětí v bodě B na odporu  $R_2$ . Je-li přírůstek na odporu  $R_2$  stejný, jako na diodě, výstupní napětí mezi body AB se nezmění a obvod stabilizuje ideálně. Stoupne-li napětí v bodě B méně než v A, stabilizace je nedokonalá, činitel stabilizace  $S_u = 1$ . Stoupne-li napětí v bodě víc než v A, obvod je přestabilizován, výstupní napětí klesá i když vstupní napětí stoupá. Aby se dosáhlo ideální stabilizace nutno volit  $R_2 = R_d$ ;  $R_d$  je dynamický odpor ZD v oblasti Z.

8.00. Numerický výpočet zesilovače.

Schema celého zesilovače je na obr. 25. Při výpočtu použijeme vztahů, které byly odvozeny v kapitolách předcházejících.

8.01. Koncový stupeň

Koncový stupeň je symetrický rozdílový stupeň.

Symetrický stupeň byl použit proto, že umožňuje docílit dobré teplotní stabilitu, bez větší ztráty zesílení, je málo citlivý k změnám napájecího napětí a umožňuje získat symetrický výstupní signál, který potřebujeme pro polarizované relé.

8.01.1 Výpočet kolektorových odporů.

Při výpočtu vycházíme z daných a zvolených hodnot:

Napájecí napětí (zvoleno)  $E_1 = +12 \text{ V}$   
 ~~$E_2 = \text{NEJKRÁTKU}$~~

Odpor cívky relé HL 100 11  $R_z = 6,3 \text{ k}$

Přítah relé  $2,2 \pm 20\% \text{ Az}$

Počet závitů  $17000$

Provozní příkon  $0,36 \text{ mW}$

Minimální příkon  $0,05 \text{ mW}$

## 1. Spínací proud

$$I_{sp} = \frac{\text{ampérzávity}}{\text{počet závitů}} = \frac{2,2}{17000} = 1,3 \cdot 10^{-4} \text{ A}$$

VŠST  
LIBEREC

Zařízení pro měření  
šířky tkaniny.

DP  
5. LISTOPADU 1966  
D. Malík

52

Jelikož relé pracuje přetržitě volíme si max. příkon  $P_m = 1mW$

z. maximální spínací proud vypočteme ze vztahu

$$P_m = R_z \cdot I_{spm}^2$$

$$I_{spm} = \sqrt{\frac{P_m}{R_z}} = \sqrt{\frac{1 \cdot 10^{-3}}{6,3 \cdot 10^3}} = 0,4 \cdot 10^{-3} A$$

Při výpočtu kolektorových odporů vycházíme spodníinky

$$I_{spm}(R_z + R_8) = E_1 - U_k - 0,3$$

$U_k$  - potenciál kolektoru předcházejícího stupně;  
ten odhadneme +2V.

$$R_8 = \frac{E_1 - U_k - 0,3}{I_{spm}} - R_z = \frac{12 - 2 - 0,3}{0,4 \cdot 10^{-3}} - 6,3 \cdot 10^3 = \\ = 18 \cdot 10^3 = 18 k\Omega \quad R_8 = R_9$$

Maximální proud kolektoru se vypočte ze vztahu

$$I_m = \frac{2R + R}{R_8} \quad I_{spm} = \frac{2 \cdot 18 + 6,3}{18} \approx 0,4 \cdot 10^{-3} = 0,94 \cdot 10^{-3} A$$

Klidový pracovní bod musí být  $I_{k3} \geq \frac{I_m}{2}$

$$I_{k3} \text{ volíme } 0,6 \cdot 10^{-3} A \quad I_{k4} = I_{k3}$$

Napětí kolektoru

$$U_k = U_{k4} = E_1 - I_{k3} \cdot R_8 = 12 - 0,6 \cdot 18 = 1,2 V$$

#### 8.01.2 Charakteristické hodnoty pro pracovní bod

Pro pracovní bod  $U_k = 1,2 V$ ,  $I_k = 0,6 mA$  tranzistoru 106 NU 70, který je použit v koncovém stupni.

VŠST  
LIBEREC

Zařízení pro měření  
šířky tkaniny.

DP  
5. LISTOPADU 1966  
D. Malík

byly nalezeny tyto hodnoty:

vstupní odpor

$$h_{11} = 2,16 \text{ k}\Omega$$

zpětný napěťový činitel

$$h_{12} = 9,7 \cdot 10^{-4}$$

proudový zesilovací činitel

$$h_{21} = 45$$

výstupní vodivost

$$h_{22} = 37 \cdot 10^{-6} \text{ S}$$

Protože "h" parametry se hodí lépe pro vyjádření vlastností tranzistorů na základě měření, než pro výpočet, přepočteme je na hodnoty náhradního obvodu T, který se lépe hodí pro výpočet.

$$r_e = \frac{h_{12}}{h_{22}} = \frac{9,7 \cdot 10^{-4}}{37 \cdot 10^{-6}} = 26,2 \Omega$$

$$r_k = \frac{1 + h_{21}}{h_{22}} = \frac{1 + 45}{37 \cdot 10^{-6}} = 1,2 \cdot 10^6 = 1,2 \text{ M}\Omega$$

$$r_b = h_{11} - \frac{h_{12}(1+h_{21})}{h_{22}} = 2,16 \cdot 10^3 - \frac{9,7 \cdot 10^{-4}(1+45)}{37 \cdot 10^{-6}} = \\ = 3,4 \cdot 10^3 = 3,3 \text{ k}\Omega$$

### 8.01.3. Výpočet zesílení.

Zesílení vypočteme ze vztahu (83) ve kterém za výraz  $1 - \alpha$  dosadíme ekvivalentní výraz  $\frac{1}{1+\beta}$

Nejdřív si musíme vypočítat hodnoty  $R_e$  a  $R_z$

$$R_e = r_e = 26,2 \Omega$$

$$R_s = \frac{R \cdot R_8}{R_8 + 2R_k} = \frac{18 \cdot 6 \cdot 10^6}{(6,3 + 2 \cdot 18) \cdot 10^3} = 2,55 \cdot 10^3 = 2,55 \text{ k}\Omega$$

$$k_{si3} = k_{si4} = \beta \frac{1}{1 + \frac{(R_e + R_8)(1 + \beta)}{r_k}} =$$

$$= -45 \frac{1}{1 + \frac{(0,026 + 2,55)(1 + 45) \cdot 10^3}{1,2 \cdot 10^6}} = -41$$

#### 8.01.4. Vstupní odpory

K výpočtu použijeme vztahů (87), (89)

$$T_3 = T_4 = \frac{r_b}{1 - k_{si3}} + r_e = \frac{3,3 \cdot 10^3}{1 + 41} + 26,2 = 105 \Omega$$

Emitorový odpor volíme  $R_{10} = 1 \text{ k}\Omega$

$$\begin{aligned} r_3 = r_4 &= (1 - k_{si3}) \left[ T_3 + R_{10} - \frac{R_{10}}{T_4 + R_{10}} \right] = \\ &= (1 + 41) \left[ 0,105 \cdot 10^3 + 1 \cdot 10^3 - \frac{1 \cdot 10^6}{(0,105 + 1) \cdot 10^3} \right] = 8,4 \text{k}\Omega \end{aligned}$$

#### 8.01.5. Napájecí napětí $E_3$

$$E_3 = 2 \cdot I_{k3} R_{10} + U_{kl} = 2 \cdot 0,6 \cdot 10^{-3} \cdot 1 \cdot 10^3 + 2 = 3,2 \text{V}$$

#### 8.01.6. Rozkmit proudu báze.

K výpočtu použijeme vztahu (73)

$$k_{si} = \frac{i_s}{i}$$

$$i_{b3} = i_{b4} = \frac{-I_m}{k_{si3}} = \frac{0,94 \cdot 10^{-3}}{41} = 23 \cdot 10^{-6} = 23 \mu\text{A}$$

VŠST  
LIBEREC

Zařízení pro měření  
šířky tkaniny.

DP  
5. LISTOPADU 1966  
D. Malík

55

Při výpočtu zesílení nebylo uvažováno rozdělení výstupního proudu mezi zátěž a kolektorové odpory.  
Skutečné zesílení bude:

$$k'_{si} = \frac{i_s'}{i} = k_{si} \frac{R_8}{2R_8 + R_z} = - 41 \frac{18}{2 \cdot 18 + 6,3} = 17,5$$

#### 8.02. Vstupní zesilovač

Jako vstupního zesilovače je použito rozdílového stupně, který umožňuje porovnat signál ze snímače se signálem, který odpovídá nastavené šířce tkaniny. Ve vstupním zesilovači jsou použity tranzistory 156 NU 70.

##### 8.02.1 Kolektorové odpory.

Pracovní bod tranzistorů vstupního zesilovače volíme, tak aby stupeň měl co nejmenší šum (malé  $U_k$  a  $I_k$ ), ale ještě dostatečné zesílení. S ohledem na tyto požadavky volíme  $U_{k1} = 2$  V.,  $I_{k1} = 0,3$  mA.

Kolektorové odpory vypočteme ze vztahu

$$R_1 = R_2 = \frac{E_1 - U_k}{I_k} = \frac{12 - 2}{0,3 \cdot 10^{-3}} = 33,3 \text{ k}\Omega$$

##### 8.02.2 Výpočet emitorového odporu.

Na emitorovém odporu povolíme úbytek celého napájecího napětí  $E_2 = - 12$  V. Odpor vypočteme ze vztahu

$$R_3 = \frac{U_{e1} - E_2}{I_k} \equiv \frac{0 - (-12)}{2 \cdot 0,3 \cdot 10^{-3}} = 20 \cdot 10^3 = 20 \text{ k}\Omega$$

## 8.02.3 Charakteristické hodnoty tranzistorů.

V literatuře /5/ byly pro zvolený pracovní bod nalezeny hodnoty:

$$r_e = 88 \Omega$$

$$r_K = 1,2 M\Omega$$

$$r_b = 1,6 k\Omega$$

$$\beta = 80$$

## 8.02.4. Výpočet zesílení.

K výpočtu zesílení použijeme vztahu (83) upraveného stejně jako v kap. 8.01.3.

$$R_z = \frac{r_3 R_1}{r_3 + R_1} = \frac{8,4 \cdot 33 \cdot 10^6}{(8,4 + 33) \cdot 10^3} = 6,5 \cdot 10^3 = 6,5 k\Omega$$

$$k_{sil} = \frac{1}{1 + \frac{(R_e + R_z) \cdot (1 + \beta)}{r_k}} =$$

$$= -80 \frac{1}{1 + \frac{(88 \cdot 10^{-3} + 6,5) \cdot 10^3 (1+80)}{1,2 \cdot 10^6}} = -55$$

Uvažujeme-li rozdělení výstupního proudu zatěžovacími odpory dostaneme

$$K_{sil} = k_{sil} \frac{R_b}{R_1 + r_3} = -55 \frac{33 \cdot 10^3}{(0,088 + 33) \cdot 10^3} = -54,8$$

což je téměř původní hodnota.

## 8.02.5. Výpočet vstupního a výstupního odporu.

K výpočtu použijeme vztahů (87), (89)

$$T_1 = T_2 = \frac{r_b}{1 - k_{sil}} + r_e = \frac{1,6 \cdot 10^3}{1 + 55} + 88 = 117 \Omega$$

$$r_1 = r_2 = (1 - k_{sil}) \left[ T_1 + R_3 - \frac{R_3^2}{T_2 + R_3} \right] =$$

$$= (1 + 55) \left[ 117 + 20 \cdot 10^3 - \frac{20^2 \cdot 10^6}{117 + 20 \cdot 10^3} \right] = 16,5 \Omega$$

Výstupní odpor vypočtem s dostatečnou přesností /5/ ze vztahu:

$$r_{s1} = r_{s2} = \frac{r_{k1}}{\beta_1} = \frac{1,2 \cdot 10^6}{80} = 15 \Omega$$

## 8.02.6. Rozkmit proudu báze.

$$i_{bl} = i_{b2} = \frac{-I_{b3}}{k_{si}} = \frac{-23 \cdot 10^{-6}}{-54,8} = 0,42 \cdot 10^{-6} A$$

## 8.02.7. Výpočet stabilizačních odporů.

Nejdříve vypočtem stabilitačního součinitele koncového stupně. Použijeme k tomu vztahu (70), (69). Vzhledem k tomu, že je požito shodných tranzistorů,  $S_3 = S_4$ ,  $A = B$ ,  $\alpha_3 = \alpha_4$ .

$$A = R_{10} \frac{r_{s1} + R_1}{r_{s1} \cdot R_1} = \frac{15 \cdot 10^3 + 33 \cdot 10^3}{15 \cdot 33 \cdot 10^6} \cdot 1 \cdot 10^3 = 0,097$$

$$S_3 = \frac{1 + A \cdot 2}{1 - \alpha_3 + 2A} = \frac{1 + 2 \cdot 0,097}{1 - 0,987 + 2 \cdot 0,097} = 5,78$$

V důsledku souměrnosti je i u prvního stupně

$$S_1 = S_2 \quad R_3 = R_5$$

Pro výpočet  $S_1$  použijeme vztahu (92). Jelikož u použitých tranzistorů je kolektorový proud velmi malý, je zbytkový proud pouze funkcí okolní teploty. protože se pro výpočet obou zbytkových proudů používá stejného vztahu, můžeme ~~I<sub>kbo1</sub>~~ v rovnici (92) místo

$\Delta I_{kbo1}$  a  $\Delta I_{kbo2}$  psát  $I_{kbo1}$ ,  $I_{kbo2}$ .

$$k_{si2} S_1 I_{kbo1} + S_2 I_{kbo2} = 0$$

$$S_1 = -\frac{-S_3 I_{kbo1}}{k_{si3} I_{kbo2}} = \frac{-5,78 \cdot 4,5 \cdot 10^{-6}}{-41,0,5 \cdot 10} = 1,27$$

kde zbytkový proud tranz. 156 NU 70  $I_{kbo1} = 0,5 \cdot 10^{-6} A$

$$106 \text{ NU } 70 \quad I_{kbo2} = 4,5 \cdot 10^{-6} A$$

Odpor  $R_3$  vypočteme z upraveného vzathu (72)

$$R_3 = \frac{E(S_1 - 1)}{I_{kl} - S_1 I_{kbo1}} = \frac{24(1,27 - 1)}{0,3 \cdot 10^{-3} - 1,27 \cdot 0,5 \cdot 10^{-6}} = \\ = 21,6 \text{ k}\Omega$$

Volíme  $R_3 = 22 \text{ k}\Omega$

Vzhledem k tomu, že proud báze je vzhledem k proudu, který teče děličem je zanedbatelný, volíme  $R_2 = 22 \text{ k}\Omega$

Odpory  $R_4$  a  $R_5$  budou mít stejnou velikost.

Přidáním děliče na vstup se zmenšil vstupní odporník zesilovače a tudíž se musí ve stejném poměru zvětšit vstupní proud zesilovače.

VŠST  
LIBEREC

Zařízení pro měření  
šířky vlny.

DP  
5. LISTOPADU 1966  
D. Malík

$$i_L = i_{BL} \frac{2r_1 + R_3}{R_3} = 0,42 \cdot 10^{-6} \frac{2 \cdot 16,5 + 22}{22} = \\ = 1,05 \cdot 10^{-6} A$$

8.03 Přenosové konstanty zesilovače.

8.03.1 Vstupní odpor zesilovače.

$$r = \frac{R_3 \cdot r_1}{R_3 + r_1} = \frac{22 \cdot 16,5 \cdot 10^6}{(22 + 16,5) \cdot 10^3} = 9,4 k\Omega$$

8.03.2 Zesílení celého zesilovače.

a) proudové

$$k_{SI} = \frac{I_{SPM}}{i_L} = \frac{0,4 \cdot 10^{-3}}{1,05 \cdot 10^{-6}} = 380$$

b) napěťové

$$k_{SU} = k_{SI} \frac{R_Z}{r} = 380 \frac{6,3}{9,4} = 255$$

c) výkonové

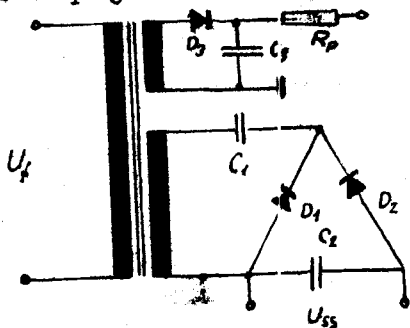
$$k_V = k_{SI} \cdot k_{SU} = 380 \cdot 255 = 97 000$$

9.00 Výpočet napájecích zdrojů.

9.01. Napájecí a stabilizační zdroj zesilovače.

9.01.1. Napájecí část.

Pro napájení zesilovače je použito zdvojovací napětí, což není nic jiného, než dva jednocestné usměrňovače zapojené v serii. Schema zdvojovovače je na obr.22



Obr.22.

Schema zdvojovovače napětí zdroje pro žárovky.

Velikost stejnosměrného napětí, které dá násobič napětí o  $n$  stupních, vypočteme ze vzorce / 2 /:

$$U_{ss} = 1,175 \cdot n \cdot U_f$$

kde  $U_{ss}$  - stejnosměrné napětí zdroje  $\text{ve V}$

$U_f$  - napětí transformátoru  $\text{ve V}$

$n$  - počet stupňů násobiče

1,175 - konstanta, která koriguje platnost vzorce s ohledem na ztráty.

Napětí  $U_f$  si zvolíme  $U_f = 24\text{V}$

VŠST  
LIBEREC

Zařízení pro měření  
šířky tkaniny.

DP  
5. LISTOPADU 1966  
D. Malík

$$U_{ss} = 1,175 \cdot 2,24 = 56,5V$$

Pro výpočet kapacity uvádí literatura /2/ vzorec

$$C = \frac{I \cdot 2n(n + 2) \cdot 10^6}{f \cdot U_{ss}}$$

kde  $C$  - kapacita kondenzátoru v  $\mu F$

$U_{ss}$  - stejnosměrné napětí ve V

$I$  - odebíraný proud v A

$f$  - kmitočet sítě v Hz

$n$  - počet stupňů násobiče

Odhadneme odebíraný proud na 0,4 A

$$C_1 = C_2 = \frac{-0,4 \cdot 4(2 + 2) \cdot 10^6}{50 \cdot 56,5} = 2,27 \cdot 10^3 \mu F$$

Vzhledem k velikosti odebíraného proudu volíme usměr. diody 33 NP75 .

#### 9.01.2. Stabilizační část.

Jako stabilizátoru je použito můstkového stabilizátoru se ZD. Schema zapojení je na obr.21.

Jelikož potřebujeme na výstupu můstku napětí 24V, což nám jedna ZD nedá, volíme dvě diody 7 NZ 70 zapojené v serii. ZD 7 NZ 70 má Zenerovo napětí

$$U_Z = 14 V \text{ a doporučený pracovní bod } I_Z = 50 mA.$$

Schema na obr. 21 popisuje tyto rovnice:

$$I_1 R_{L1} = U_i - U_o$$

$$I_3 R_{L2} = U_i - U_o + U_2$$

$$(I_3 + I_2)R_d = U_o - U_2$$

$$I_1 - I_2 - I_d = 0$$

Řešením těchto rovnic pro  $U_z = 24V$

$$U_o = 2 \cdot U_z = 28V$$

$$U_i = 55V$$

$$I_d = I_z = 50 \text{ mA}$$

$$R_d = 2 \cdot R_z = 12\Omega$$

kde  $r_z$  je dynamický odpór ZD ve zvoleném pracovním bodě, který pro 7 NZ 70 činí  $6\Omega$ .

dostaneme:

$$I_1 = 132 \text{ mA}$$

$$I_2 = 82 \text{ mA}$$

$$I_3 = 248 \text{ mA}$$

$$R_1 = 204\Omega$$

$$R_2 = 293\Omega$$

Celkový proud odebíraný můstkiem je ~~220~~<sup>210</sup> x 380 mA.

#### 9.02. Zdroj pro napájení žárovek.

Jelikož z obvodu žárovek je odebírána porovnávací signál pro rozdílový zesilovač, je nutno napájecí napětí žárovek usměrnit. Stabilizaci zde není nutno provádět, neboť žárovky vzhledem ke svému nelineárnímu odporu stabilizují samy.

Výstupní napětí z usměrňovače volíme 24V.

Toto napětí bylo zvoleno z důvodů možnosti výměny osvětlovacích žárovek za žárovky s větším napájecím

VŠST  
LIBEREC

Zařízení pro měření  
šířky tkaniny.

DP  
63  
5. LISTOPADU 1966  
D. Malík

napětím. Použité žárovky TESLA 7V-0,3A. Odebíraný proud je tedy  $2.0,3 = 0,6$ A. Z toho důvodu volíme usměrňovací diodu 43 NP 75.

Srážecí odpor vypočteme ze vztahu

$$R_p = \frac{E - U}{I} = \frac{24 - 7}{0,6} = 28\Omega \text{ volíme } R=28,8\Omega$$

kde E - napětí zdroje, U - napětí žárovky,  
I - Odebíraný proud

Odpor  $R_p$  rozdělíme na dvě části z nichž jednu použijeme pro získání porovnávacího napětí.

$$R_p = R_{15} + R_{16}$$

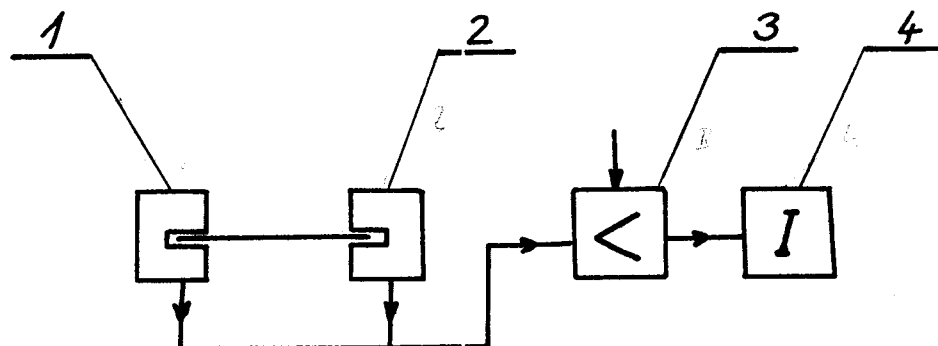
$$R_{15} = 22\Omega$$

$$R_{16} = 6,8\Omega$$

Odpor  $R_{16}$  použijeme jako zdroje napětí pro porovnávací signál. Velikost tohoto napětí vypočteme ze vztahu

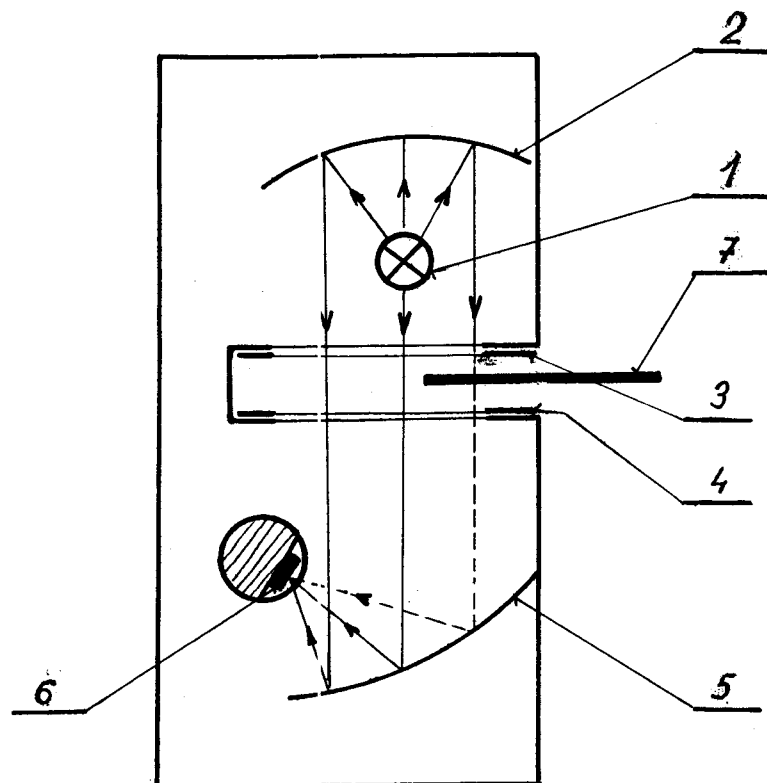
$$U_2 = R_{16} \cdot I = 6,8 \cdot 0,6 = 4,08V$$

Ostatní odpory v zesilovači byly navrženy dle citu.



Obr. 23

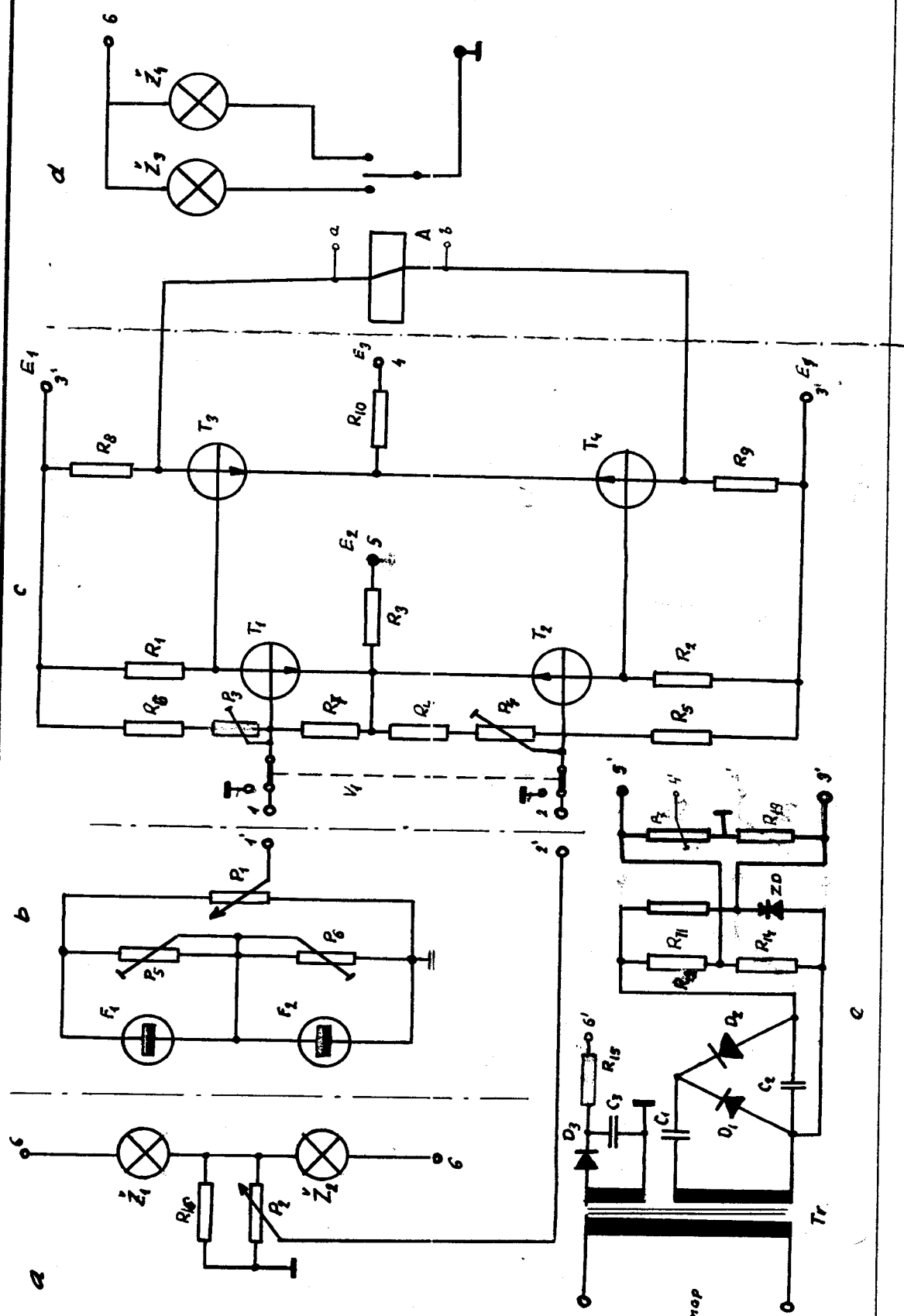
Blokové schéma zařízení.  
1,2 - snímač, 3 - rozdílový zesilovač, 5 - výhodnocovací a indikační zařízení.



Obr. 24

Schema snímače.

1 - žárovka, 2 - parabola, 3,4 - elastomera, 5 - parabola  
6 - Fotonka



Obr. 25  
Schema zapojení celého zařízení.

Použité součástky na obr. 25

Odpory:

R <sub>1</sub>	33 k	R <sub>1</sub>	50 k
R <sub>2</sub>	33 k	R <sub>2</sub>	100 k
R <sub>3</sub>	20 k	R <sub>3</sub>	2k5
R <sub>4</sub>	20 k	R <sub>4</sub>	2k5
R <sub>5</sub>	22 k	R <sub>5</sub>	100 k
R <sub>6</sub>	20 k	R <sub>6</sub>	100 k
R <sub>7</sub>	22 k	R <sub>7</sub>	150
R <sub>8</sub>	18 k		
R <sub>9</sub>	18 k		
R <sub>10</sub>	1 k		
R <sub>11</sub>	200		
R <sub>12</sub>	200		
R <sub>13</sub>	150		
R <sub>14</sub>	12		
R <sub>15</sub>	22		
R <sub>16</sub>	6,8		

Kondenzátory:

C <sub>1</sub>	2G5	D <sub>1</sub>	33 NP 70
C <sub>2</sub>	2G5	D <sub>2</sub>	33 NP 70
C <sub>3</sub>	200 M	D <sub>3</sub>	43 NP 70
		ZD	2x7 NZ 70

Tranzistory:

T <sub>1</sub>	156 NU 70
T <sub>2</sub>	156 NU 70
T <sub>3</sub>	106 NU 70
T <sub>4</sub>	106 NU 70

Fotonky:

F <sub>1</sub>	1 PP 75
F <sub>2</sub>	1 PP 75

Ostatní:

A - polarizované relé HL 100 11  
 V<sub>1</sub> - dvoupólový přepinač  
 T<sub>r</sub> - trafo 220/2x24  
 Ž<sub>1</sub> - Ž<sub>4</sub> žárovky TESLA 7V - 0,3A

10.00. Uvedení zařízení do chodu.

Nejdříve se nastaví, při zkratovaných vstupních svorkách přepinačem  $V_1$ , pracovní bod tranzistorů  $T_1$  a  $T_2$  ( $I_k = 0,3$  mA) pomocí potenciometru  $P_3$  a  $P_4$ . Pak se potenciometrem  $P_7$  nastaví proud 0,6mA tranzistorů  $T_3$  a  $T_4$ ; případné odchylky se poopraví změnou nastavení pot.  $P_3$  a  $P_4$ , tak aby mezi svorkama a-b bylo nulové napětí. Nastavení zesilovače se pak již při provozu nemění. Před připojením snimačů nutno nastavit u obou fotonek  $F_1$  a  $F_2$  stejný signál pomocí pot.  $P_5$  a  $P_6$ . Nyní je možno připojit snímače na vstup. Při zákryté štěrbině jednoho ze snimačů a nastavené citlivosti potenciometrem  $P_1$ , se zařízení opět vynuluje pot.  $P_2$ . Tím je zařízení připraveno k užívání.

Při dalším uvádění do chodu obsluha pouze vynuluje zařízení, při zkratovaných vstupních svorkách, pomocí pot.  $P_4$  a při připojených snímačích pomocí pot.  $P_2$ . Po delší době provozu je nutno znova nastavit stejný signál obou fotonek potenciometry  $P_5$  a  $P_6$ ; případně také vyměnit žárovky.

VŠST  
LIBEREC

Zařízení pro měření  
šířky tkaniny.

DP

68

5. LISTOPADU 1966

D. Malík

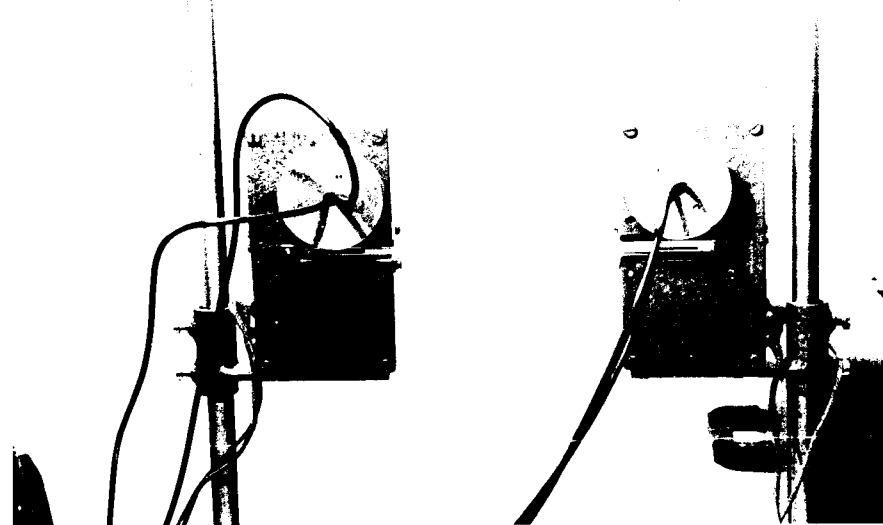


Foto č. 1  
Celkový pohled na snímače.

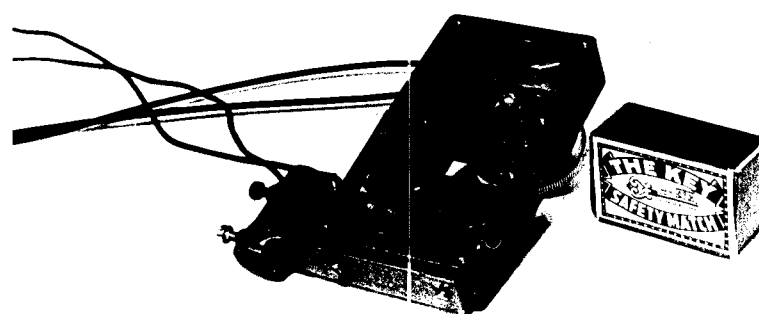


Foto č. 2  
Pohled do vnitřků snímače.

VŠST  
LIBEREC

Zařízení pro měření  
šířky tkaniny.

DP

69

5. LISTOPADU 1966

D. Malík



Foto č. 3.  
Celkový pohled na čidlo.

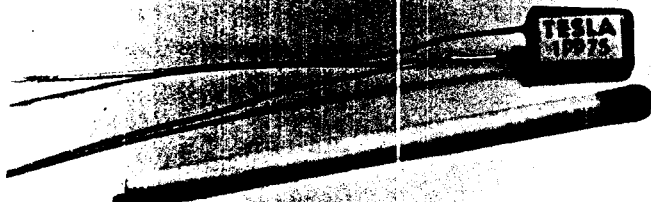


Foto č. 4. - Fotonka 1 PP 75

VŠST  
LIBEREC

Zařízení pro měření  
šířky tkaniny.

DP  
70  
5. LISTOPADU 1966  
D. Malík

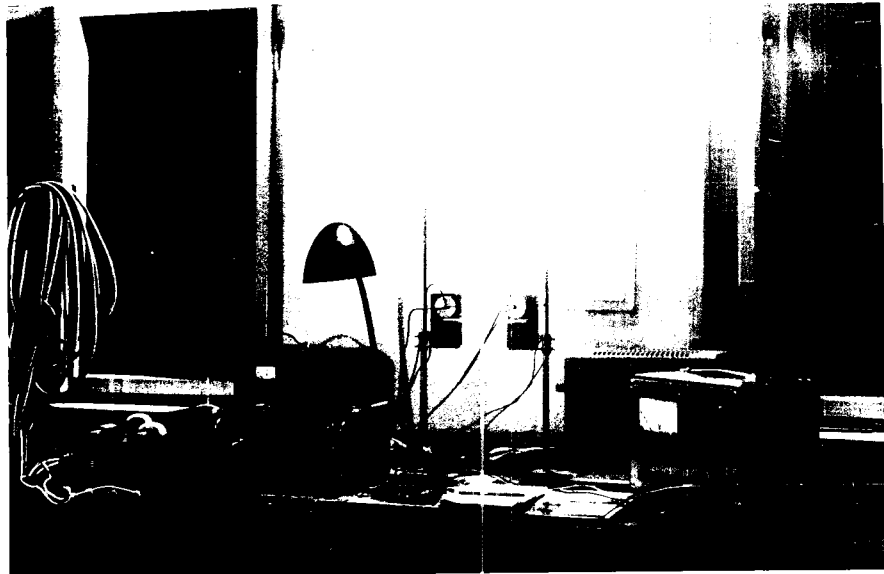


Foto č. 5

Pohled na aparaturu při zkušebním provozu.

VŠST  
LIBEREC

Zařízení pro měření  
šířky tkaniny.

DP  
5. LISTOPADU 1966  
D. Malík

71

11. 00. Závěr.

Navrhované zařízení nebylo možno pro nedostatek času, způsobený opožděnou výrobou snímačů v n.p. TOTEX, odzkoušet v provozních podmínkách na fixačním rámu. Bylo provedeno poze laboratorní předběžné odzkoušení (foto č. 5).

U zařízení bylo možno nastavit citlivost, při štěrbině  $6 \times 0$  mm, až  $\pm 1$  mm na sepnutí relé. Při zkoušení se také zjistilo, že intenzita osvetlení na štěbinách není rovnoměrná v důsledku čehož docházelo, při nastavení maximální citlivosti, k sepnutí relé i při pohybu dc stran o  $\pm 3$  mm. Zmíněná nerovnoměrnost byla způsobena sečítáním odraženého světla od paraboly a přímého světla zdroje a nerovnoměrnosti kvality povrchu parabol.

Změnu signálu z fotonek, při pohybu do stran, se podařilo částečně odstranit za cenu snížení maximální citlivosti vložením rozptylového elementu (pauzovací papír) mezi štěrbinu a zdroj světla. Maximální citlivost nyní činila  $\pm 2$  mm. Při pohybu do stran se měnila na  $\pm \frac{2}{4}$  nebo  $\pm \frac{4}{2}$  podle smyslu posunutí.

Uvedený nedostatek by se dal odstarnit umísťením zdroje světla mimo osu štěrbiny, podobně jak jak je to provedeno u snímačů.

VŠST  
LIBEREC

Zařízení pro měření  
šířky tkaniny.

DP  
5. LISTOPADU 1966  
D. Malík

72

Též nebylo možno dlouhodobě odzkoušet žárovky a zjistit jejich životnost a pokles svítivosti. Změna svítivosti se dá u navrhovaného zařízení kompenzovat nastavením potenciometrů  $P_5$  a  $P_6$ . Při větším poklesu svítivosti bude nutno vyměnit žárovky.

Např. fy ERHARDT & LEIMER doporučuje vyměnit u svého zařízení vyměnit žárovky po dvou týdnech provozu.

Životnost žárovek se dá zvýšit až na 250% při snížení napájecího napětí na 90% /11/. Svítivost přitom poklesne na 70%. Snížením napětí na 95% poklesne svítivost na 83% a životnost stoupne na 160% proti jmenovité hodnotě. Při zvýšení napětí na 105% klesne životnost na 50% a svítivost se zvýší pouze na 118%. Životnost by šlo zvýšit také použitím automobilních žárovek s jódovým cyklem, které mají životnost několik let. Tyto žárovky se prozatím u nás nevyrábějí, ale v dohledné době se mají zavést do výroby.

Přes uvedené nedostatky bude jistě toto zařízení vhodným doplňkem fixačního rámu n.p. TOTEX. Navíc je zde možnost použít navrhované zařízení pro automatickou regulaci šířky připojením akčního členu, který by byl ovládán relém podobně jako indikační žárovky.

12.00. Seznam použité literatury.

1. Ing. S. Holenda , Tranzistory v teorii a praxi
2. K. Donát Měření a výpočty v amatérské radiotechnice
3. Z. Fibich Zenerovy diody
4. Melland Textilberichte I - 1965
5. Ing. B. Mirtes CSc. Stejnosměrné zesilovače
6. Konstrukční katalog elektronek TESLA, sv. III.B. Tranzistory
7. Konstrukční katalog elektronek TESLA, sv. III.A. POLOVODIČOVÉ DIODY A USMĚRŇOVÁCÉ
8. R. F. Shea Základy tranzistorových obvodů
9. Sdělovací technika 3 - 1965
10. Firemní literatura fy Erhardt & Leimer
11. Ing. J. Síč Elektrické zařízení a příslušenství motorových vozidel

VSST  
LIBEREC

Zařízení pro měření  
šířky tkaniny

DP 74  
5. LISTOPADU 1966  
D. Malík

13.00. Seznam Fotografií a výkresů:

- Foto 1 - Celkový pohled na snímače  
2 - Pohled do vnitřku snímače  
3 - Celkový pohled na čidlo  
4 - Fotonka 1 PP 75  
5 - Pohled na aparaturu při zkoušebním provozu

Výkresy:

- |          |          |
|----------|----------|
| 0 MP 001 | 4 MP 018 |
| 2 MP 001 | 4 MP 019 |
| 2 MP 002 | 4 MP 020 |
| 3 MP 001 | 4 MP 021 |
| 3 MP 002 | 4 MP 022 |
| 3 MP 003 | 4 MP 023 |
| 3 MP 010 | 4 MP 024 |
| 4 MP 013 | 4 MP 025 |
| 4 MP 014 | 4 MP 026 |
| 4 MP 015 | 4 MP 027 |
| 4 MP 016 | 4 MP 041 |

O b s a h.

Úvod	1
1.00. Zhodnocení stávajících systémů	2
1.01. Vizuální měření	2
1.02. Měření pomocí mechanických čidel	2
1.03. Měření pomocí bezdotykových čidel	4
2.00. Návrh zařízení pro měření šířky tkaniny	6
2.01. Stručný popis jednotlivých částí	6
2.01.1. Snímač	6
2.01.2. Zesilovač	7
2.01.3. Vyhodnocovací a indikační zařízení	7
2.01.4. Napájecí a stabilizační obvod	8
3.00. Základy teorie tranzistorů a jejich obvodů	9
3.01. Úvodní poznatky o polovodičích	9
3.02. Průchod proudu polovodiči	10
3.03. Tvorba P-N přechodu a jeho vlastnosti	12
3.04. Podstata činnosti tranzistoru	14
3.05. Matematické vyjádření vztahů mezi vstupními a výstupními veličinami tranzistoru	17
3.05.1 Zjednodušené analytické vztahy	21
3.05.2 Náhradní obvody tranzistorů	24
4.00. Napájecí obvody tranzistoru a stabilizace pracovního bodu	28
4.01. Určení pracovního bodu tranzistoru	28
4.02. činitelé mající vplyv na polohu pracovního bodu	29
4.03. Volba velikosti stabilizačního činitele	31
4.04. Teplotní stabilizace odporem v emitoru a děličem v bázi	34
5.00. Přenosové konstanty zesilovacích stupňů	37
5.01. Výpočet přenosových konstant rozdílových stupňů	37
5.01.1 Výpočet zesílení	39
5.01.2 Výpočet vstupního odporu	41

5.01.1. Výpočet výstupního odporu	42
6.00. Teplotní stabilizace stejnosměrných zesi- lovačů	43
7.00. Stabilizace napětí	46
7.01. Můstkový stabilizátor se Zenerovou diodou	47
8.00. Numerický výpočet zesilovače	51
8.01. Koncový stupeň	51
8.01.1 Výpočet kolektorových odporů	51
8.01.2. Charakteristické hodnoty pro pra- covní bod	52
8.01.3. Výpočet zesílení	53
8.01.4. Vstupní odpor	54
8.01.5. Napájecí napětí $E_3$	54
8.01.6. Rozkmit proudu báze	54
8.02. Vstupní zesilovač	55
8.02.1. Výpočet emitorového odporu	55
8.02.2. Kolektorové odpory	55
8.02.3. Charakteristické hodnoty tranzisto- rů	56
8.02.4. Výpočet zesílení	56
8.02.5. Výpočet vstupního a výstupního odporu	57
8.02.6. Výpočet stabilizačních odporů	57
8.02.7. Rozkmit proudu báze	57
8.03. Přenosové konstanty celého zesilovače	59
8.03.1. Vstupní odpor zesilovače	59
8.03.2. Zesílení celého zesilovače	59
9.00. Výpočet napájecích zdrojů	60
9.01. Napájecí a stabilizační zdroj zesilovače	60
9.01.1. Napájecí část	60
9.01.2. Stabilizační část	61
9.02. Zdroj pro napájení žárovek	62
10.00. Uvedení zařízení do chodu	66

VŠST  
LIBEREC

Zařízení pro měření  
šířky tkaniny.

DP  
D. Malík

77

5. LISTOPADU 1966

- 11.00. Závěr  
12.00. Seznam použité literatury  
13.00. Seznam fotografií a výkresů

71

73

74

VŠST  
LIBEREC

Zařízení pro měření šířky  
tkaniny.

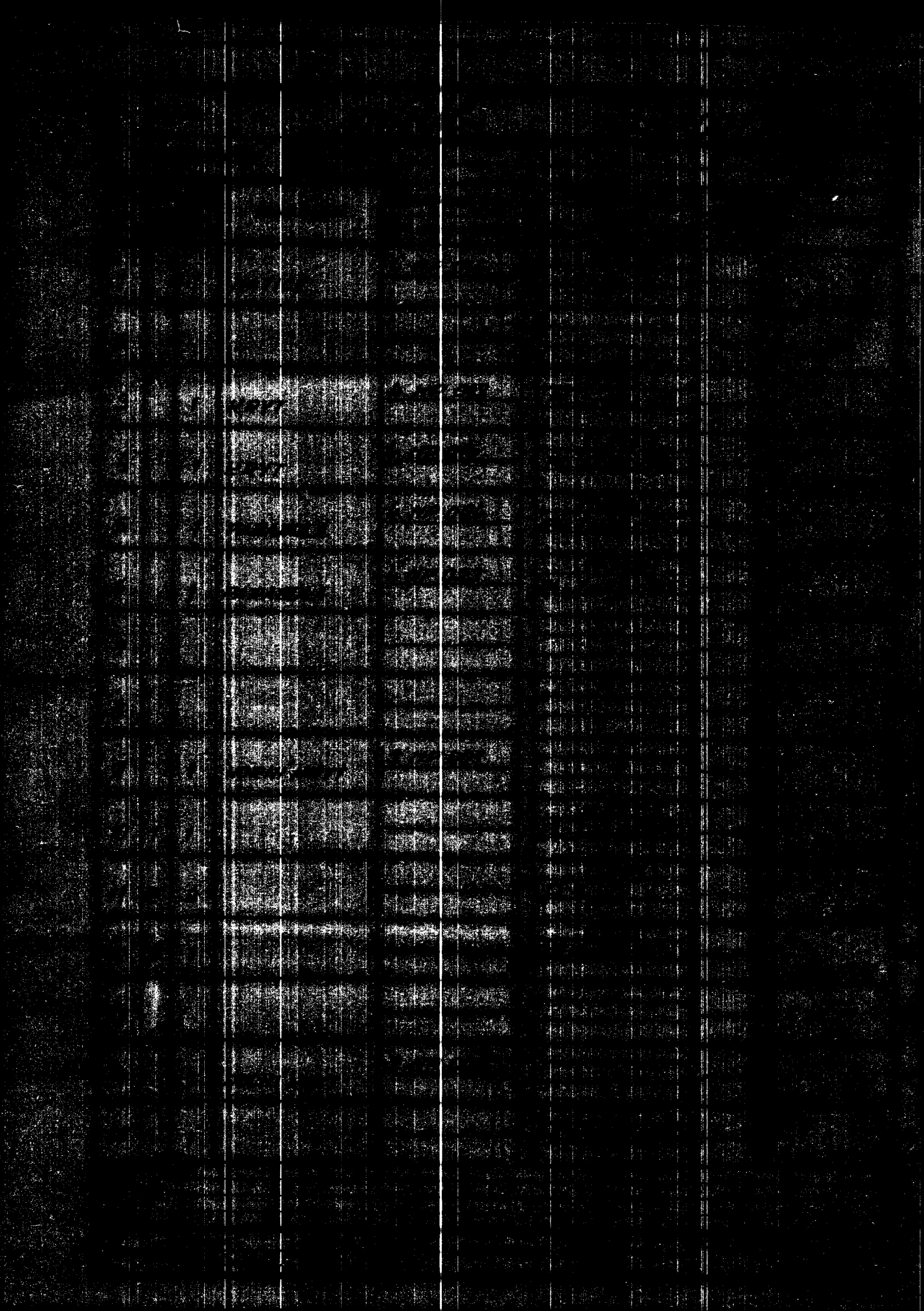
DP  
5. LISTOPADU 1966  
D. Malik

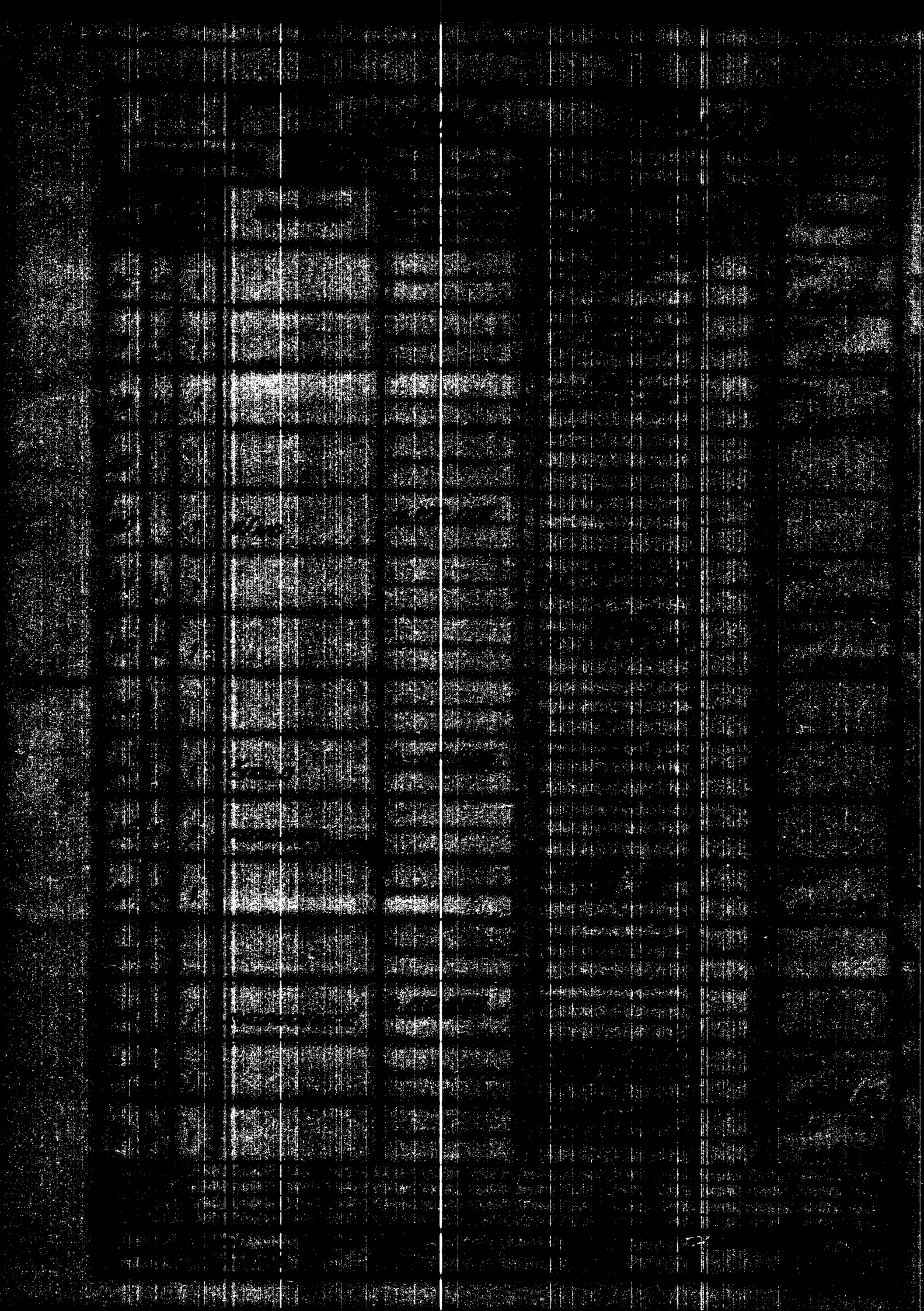
Prohlášení.

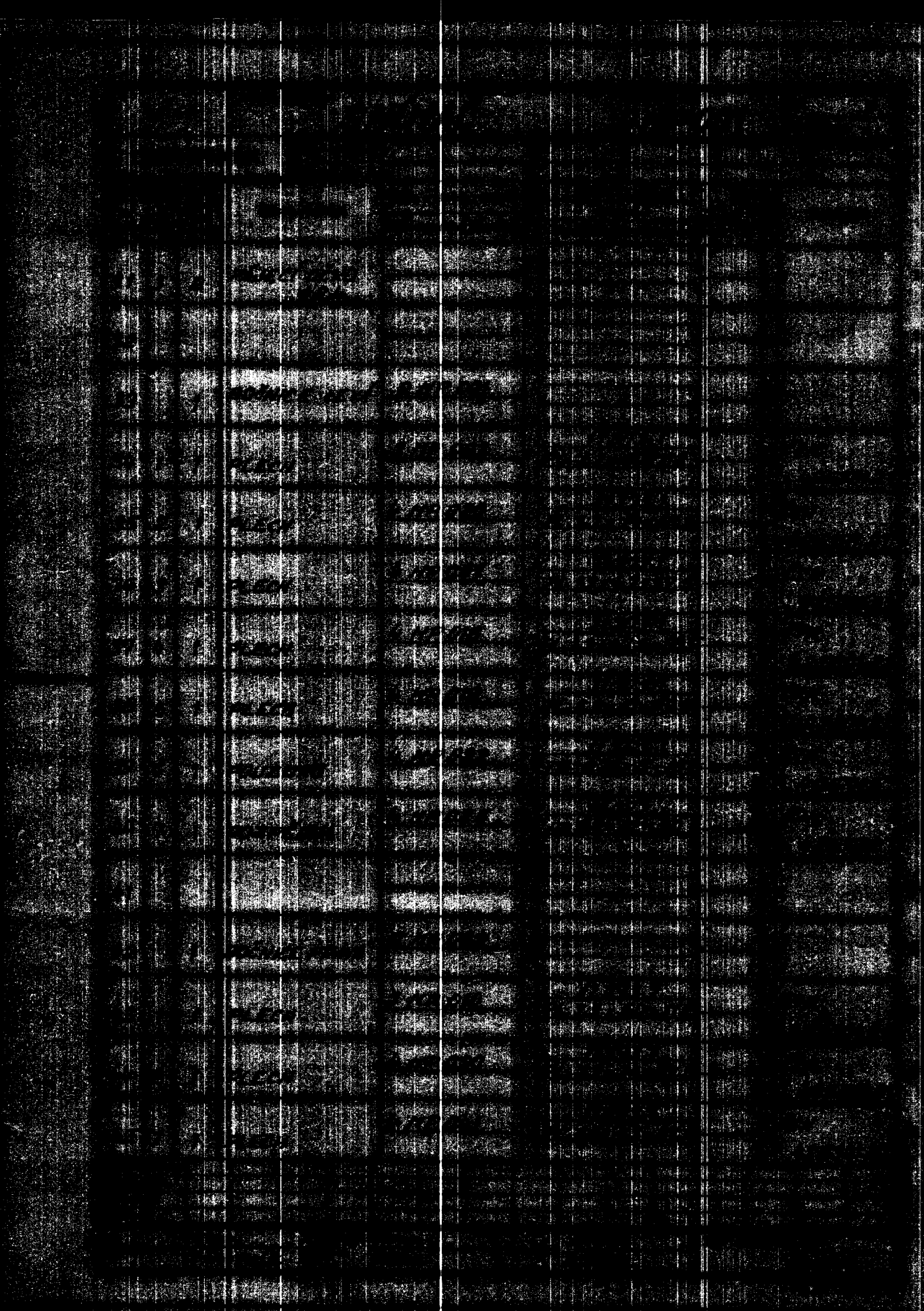
Prohlašuji, že jsem diplomovou práci vypracoval samostatně.

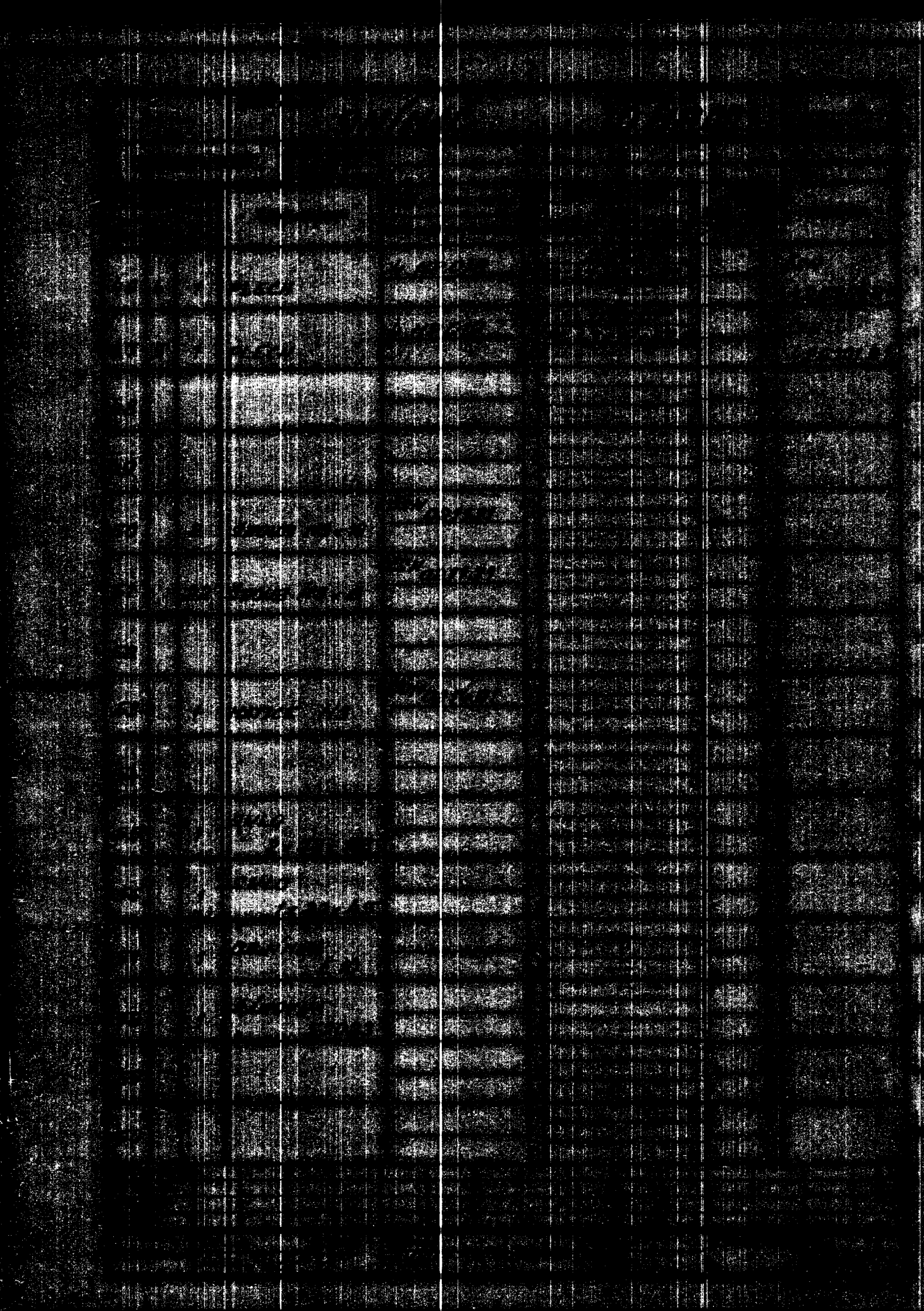
Dušan Malik

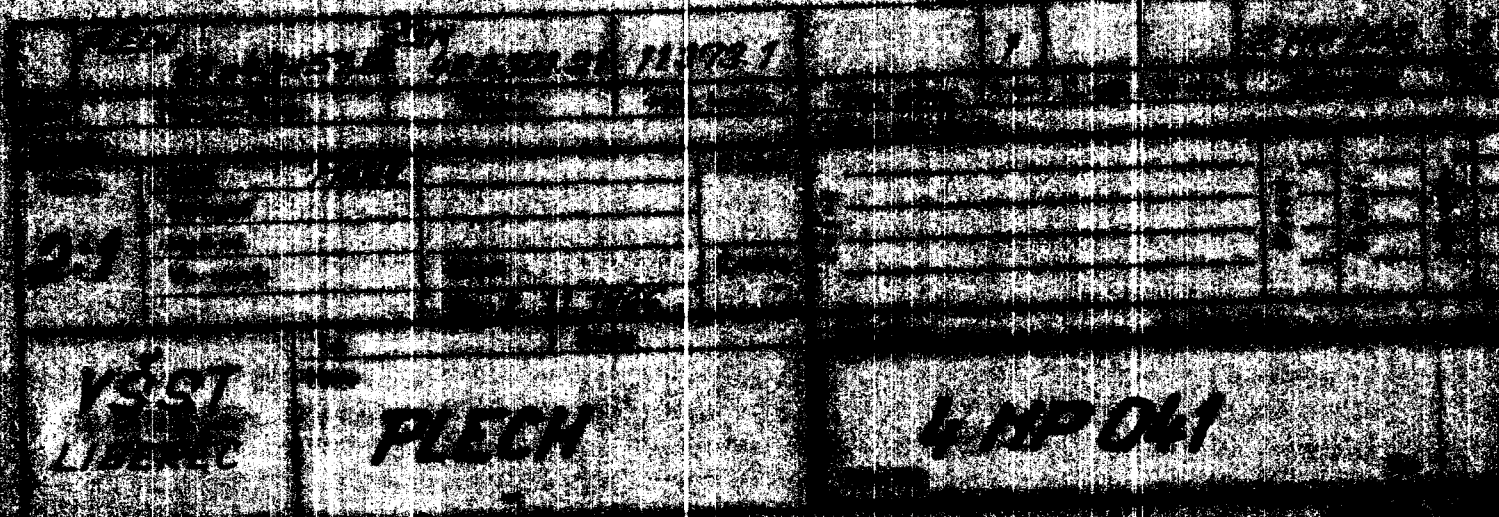
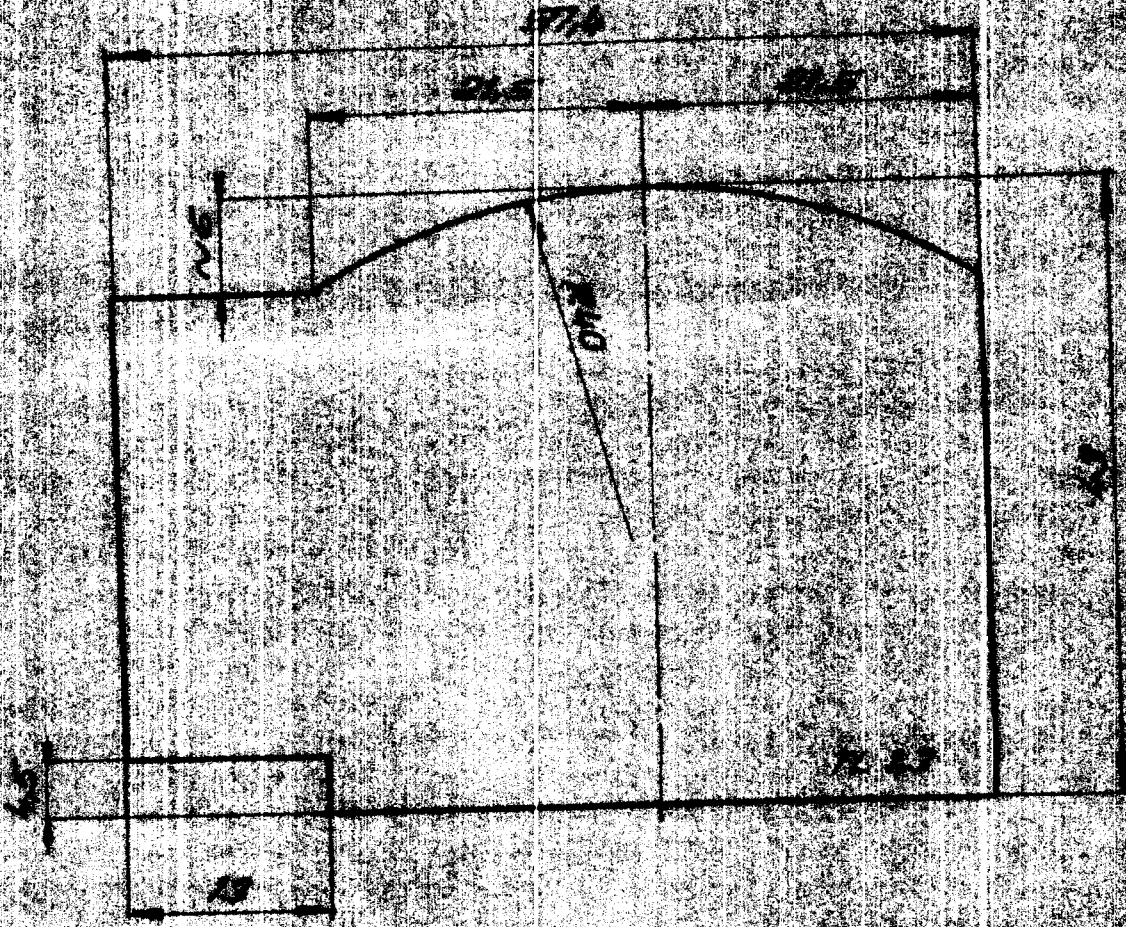
Dušan Malik

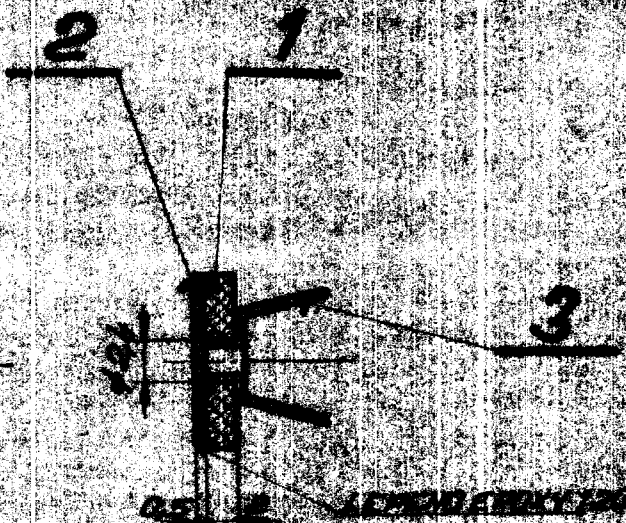
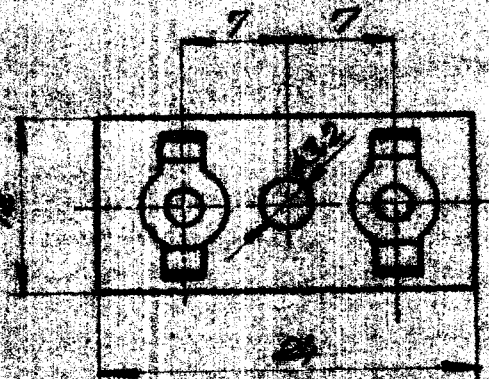




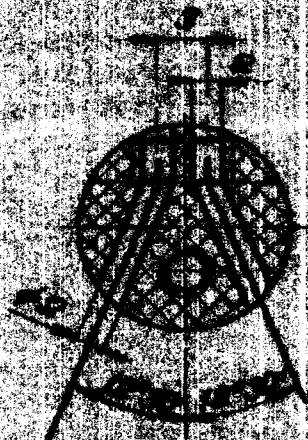
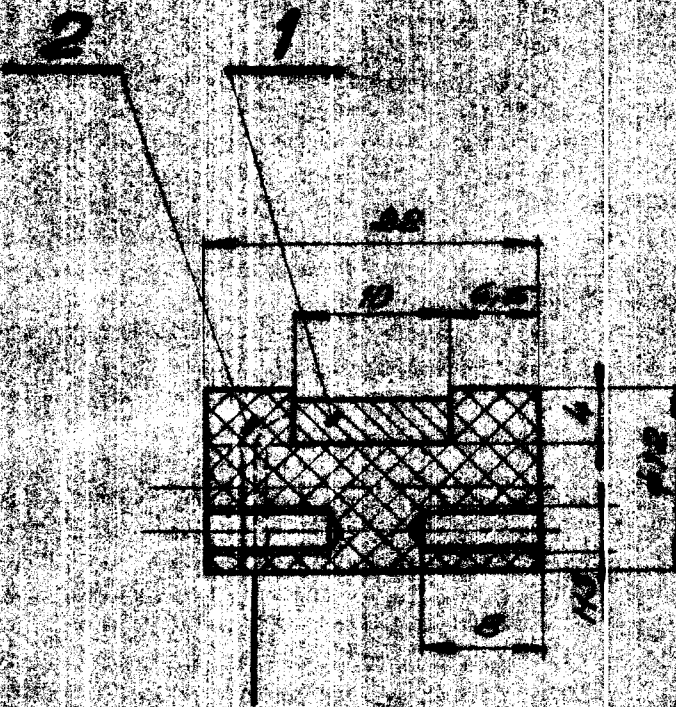








TEST	SYNCHRONIZER	14 MAR 027
------	--------------	------------



*W. H. Goss*

Digitized by srujanika@gmail.com

1

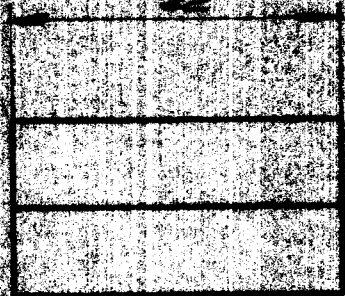
**SECRET**

*CIELO*

LHP 026

(V)

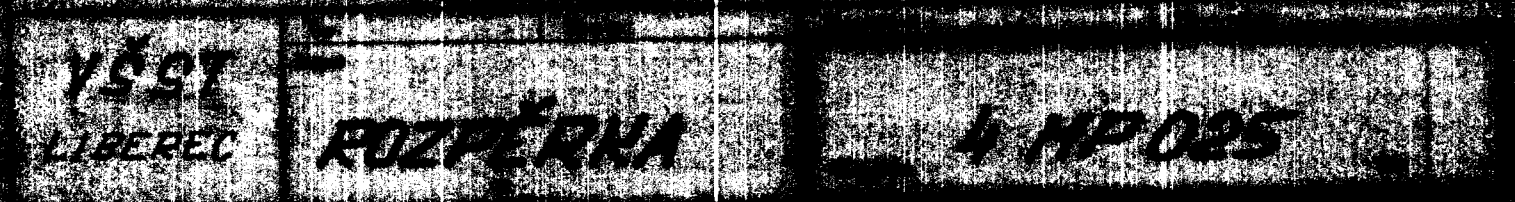
22

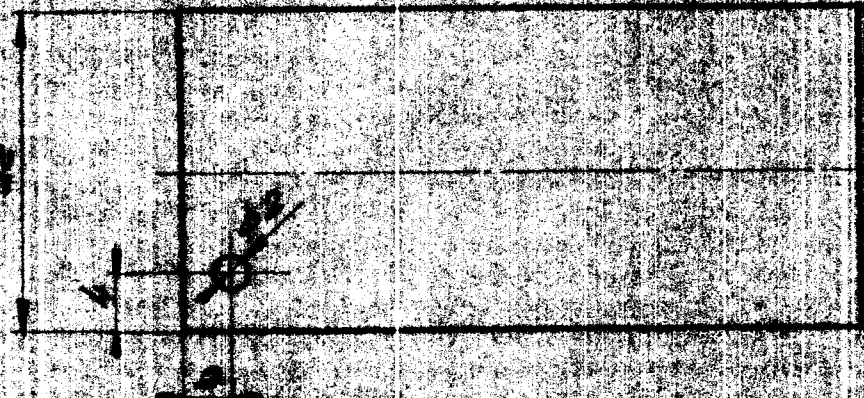
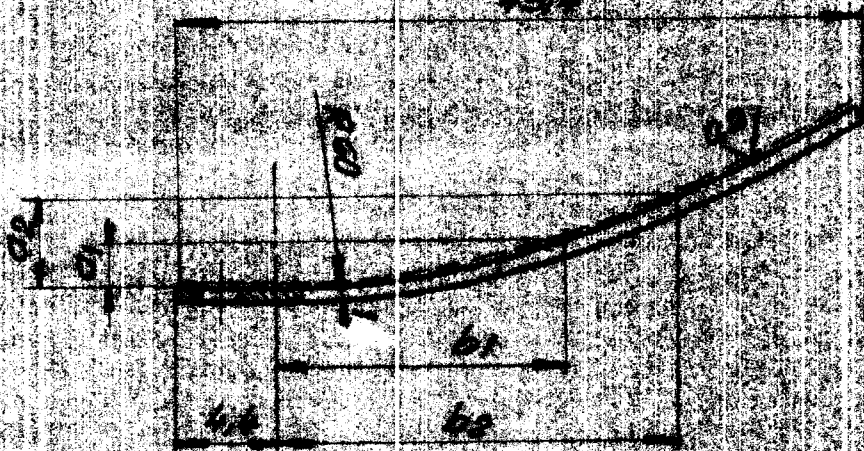


23



24





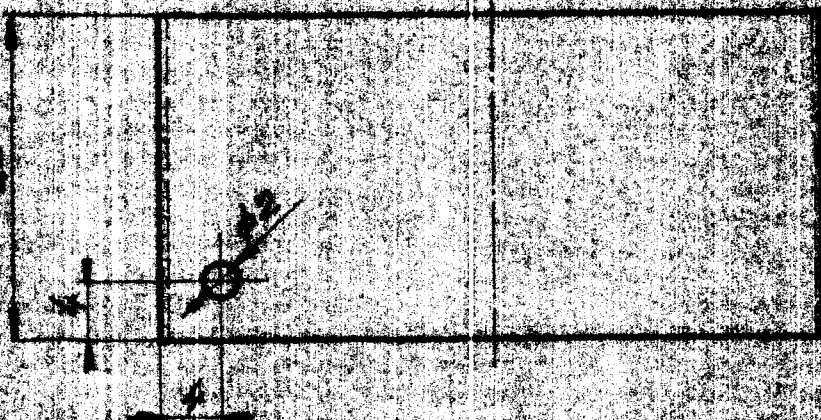
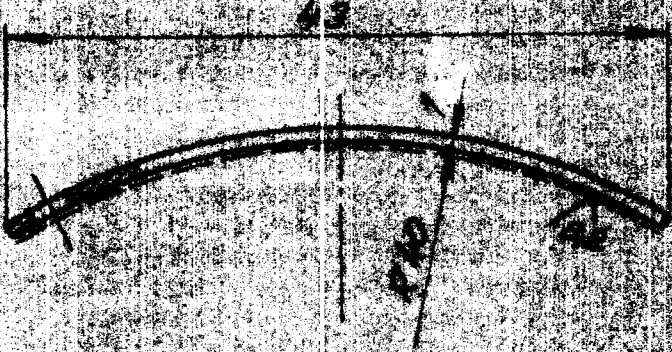
1	2	3	4
10	5	0	12
10	20	37	50

100%  
100%

PARIBOLA

100%  
100%

二〇四



**www.rockin.com**

卷之三

卷之三

21

*1987*

1931  
LITERACY PARABOLA

19. *Leucosia* sp. (Diptera: Syrphidae) was collected from the same area as the *Chrysanthemum* plants.

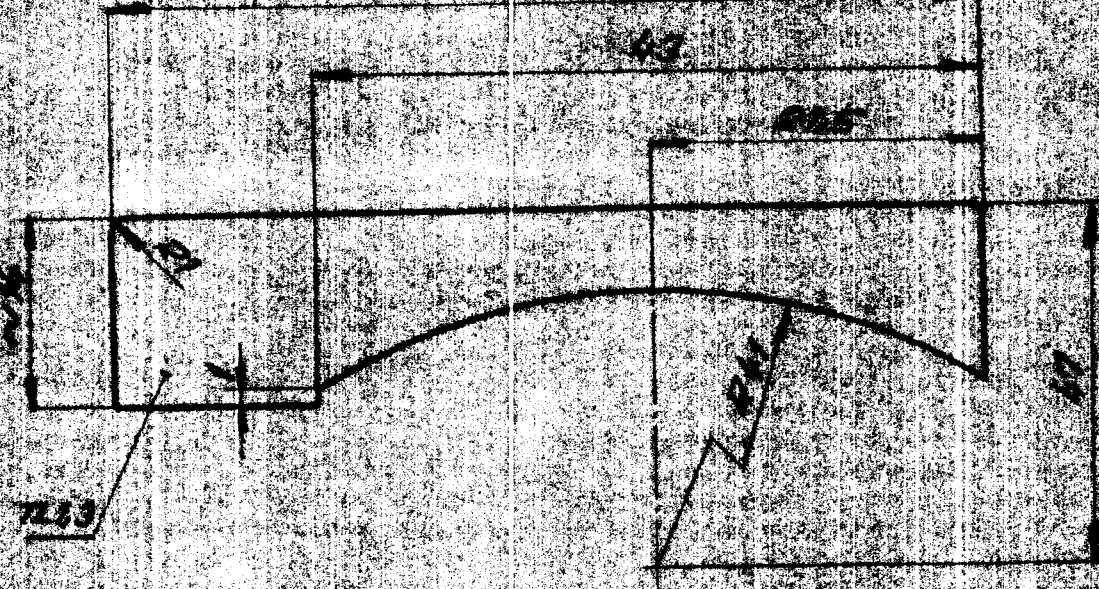
10. The following table shows the number of hours worked by each employee in a company.

10. *Leucosia* (L.) *leucostoma* (L.) *leucostoma* (L.) *leucostoma* (L.) *leucostoma* (L.)

19. *Leucosia* *leucostoma* *leucostoma* *leucostoma* *leucostoma* *leucostoma*

**4400 00**

574



7223

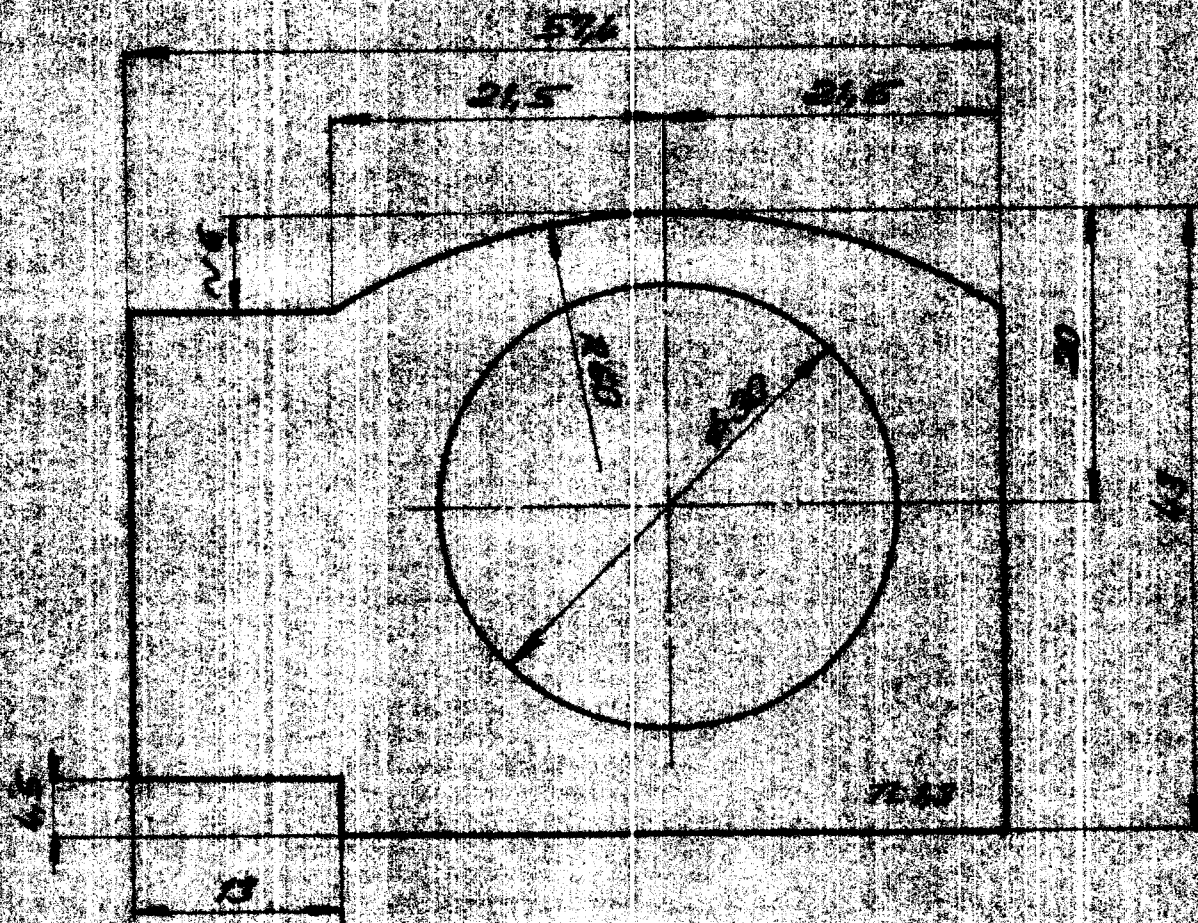
0100022

21

10597  
10598

PLEON

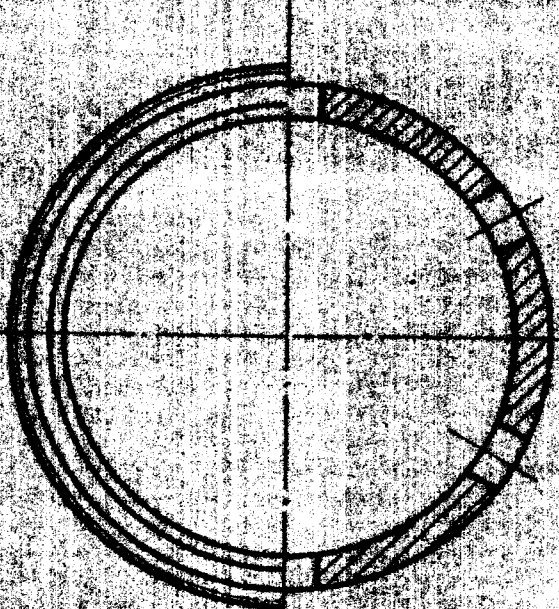
10598 020

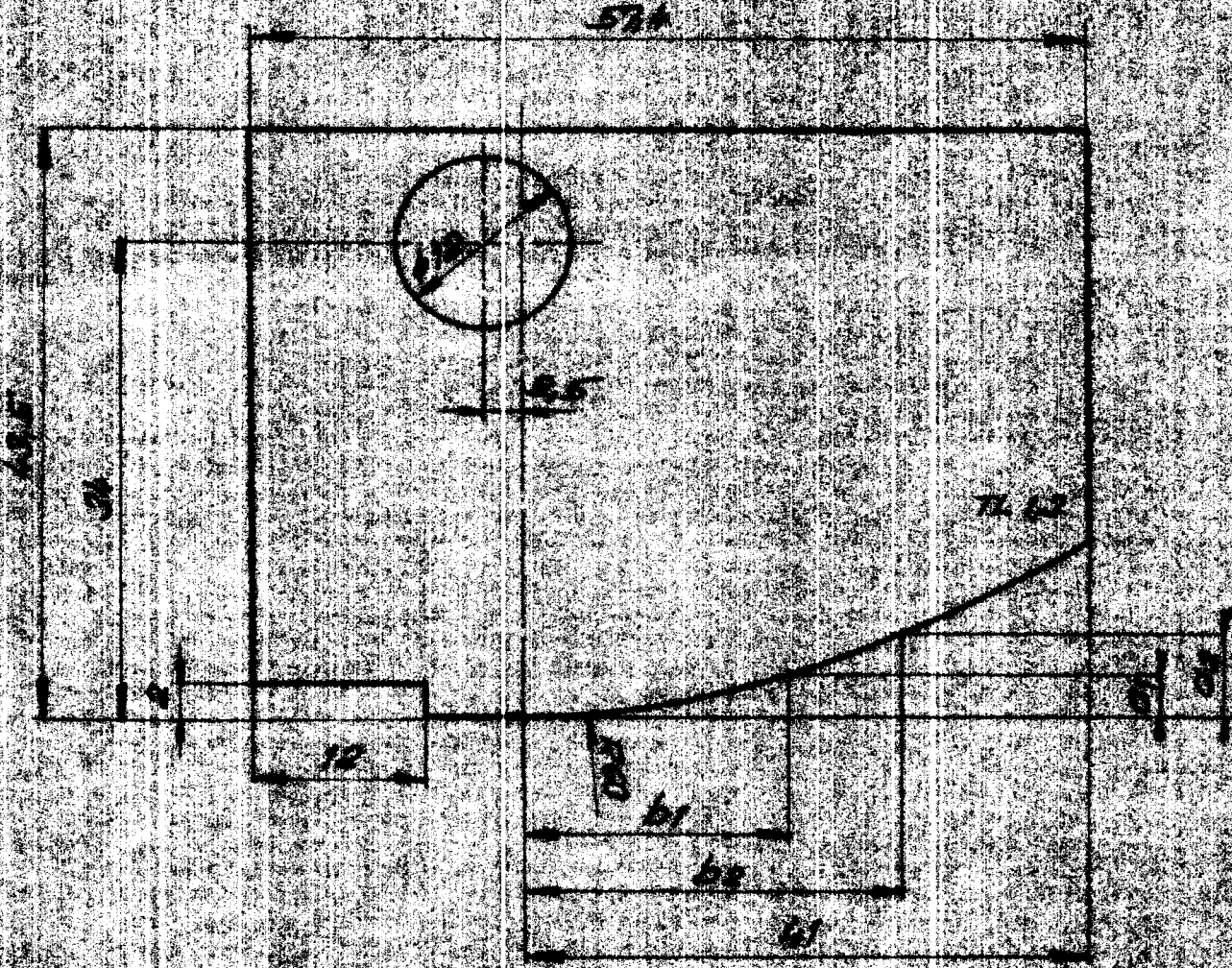


VOST  
ZEREE

PACIFIC

AFROPA





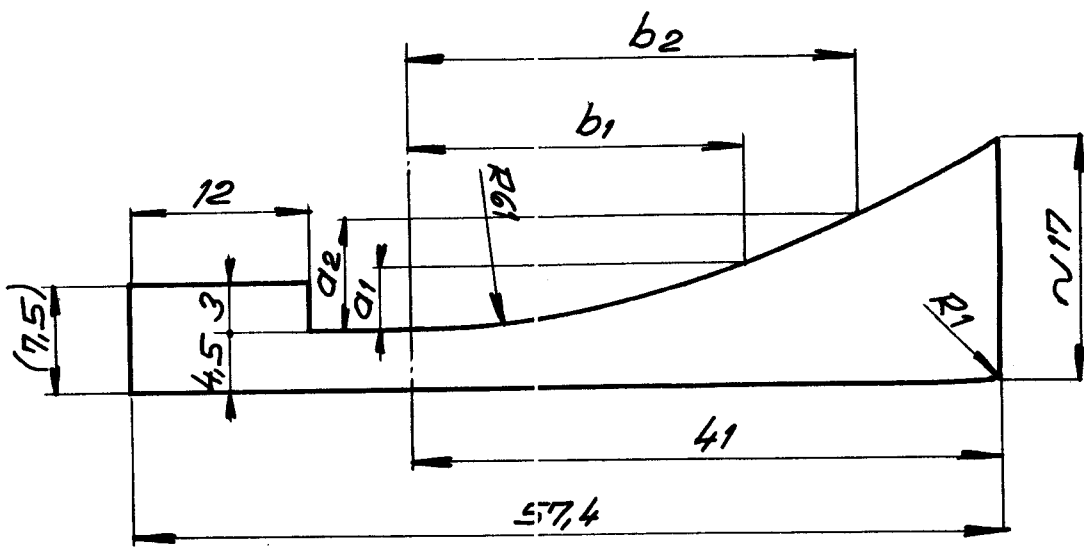
	1	2	3	4
a	3	6	9	12
b	10	26.4	23.0	22

21	22	23	24	25	26	27	28
29	30	31	32	33	34	35	36
37	38	39	40	41	42	43	44
45	46	47	48	49	50	51	52
53	54	55	56	57	58	59	60

V397  
10/20/02

PLETH

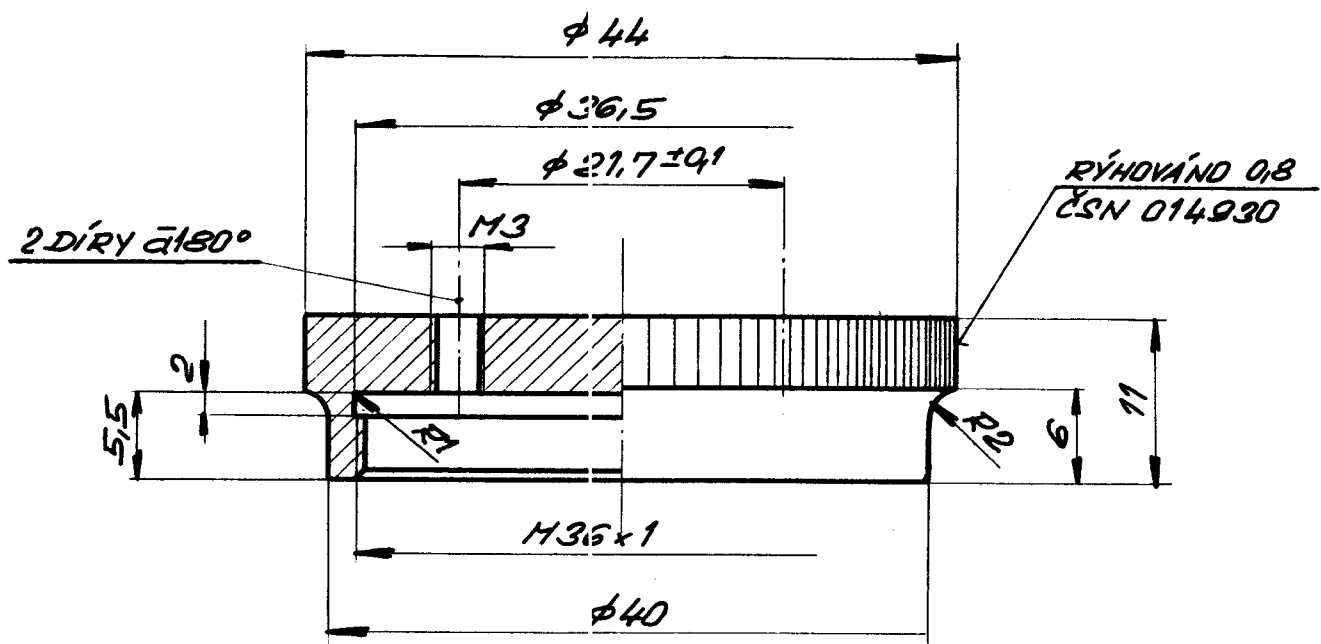
10/20/02



	1	2	3	4
a	4	7	10	13
b	22,1	29,2	35	39,8

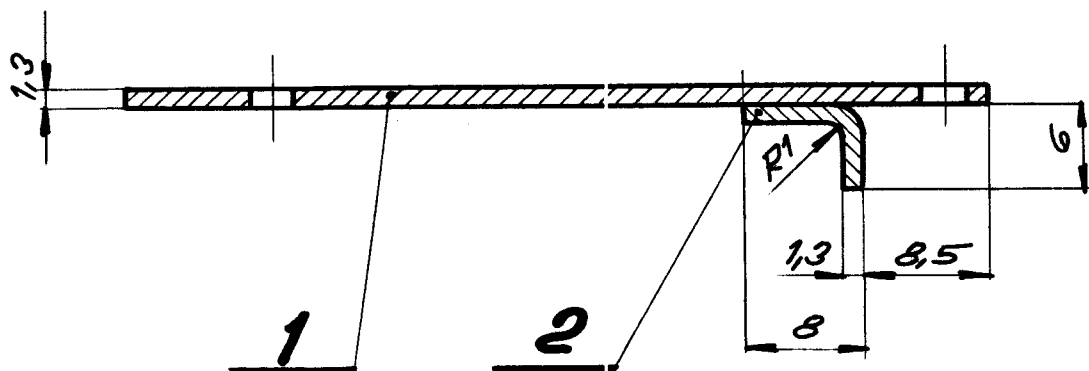
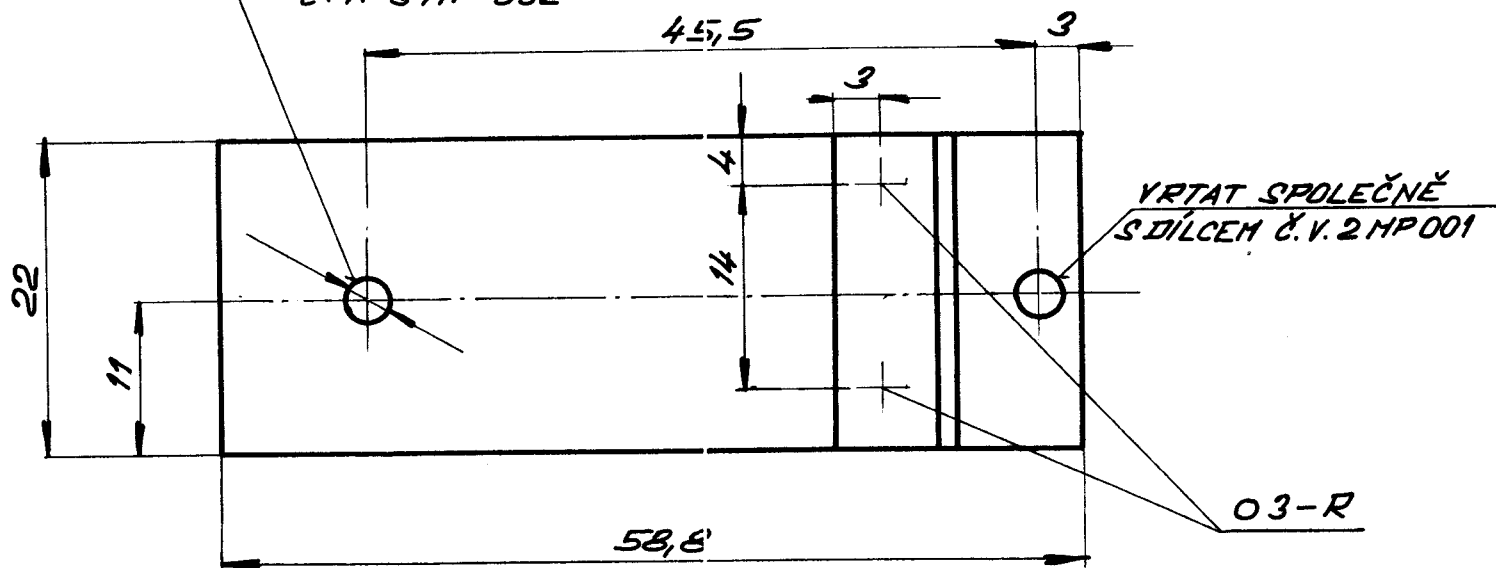
2HP002 5			
PLECH 1,3 x 17 x 57,5 CSN 425301.21 11373.1			
Poznámk	Název — Rozměr	Polotovar	Mater. konečný
2:1	Kreslil Malík	C. snímku	1
Dřezkoušel		Změna	2NP001
Norm. ref.			5
Vyr. projecn.	Schvalil	C. transp.	
Dne 2. 11. 1966			
VŠST LIBEREC	Typ	Skupina	Starý výkres
	Nápis		Nový výkres
	PLECH		4 MP 019
			Robert Štefka
			Lit

63/

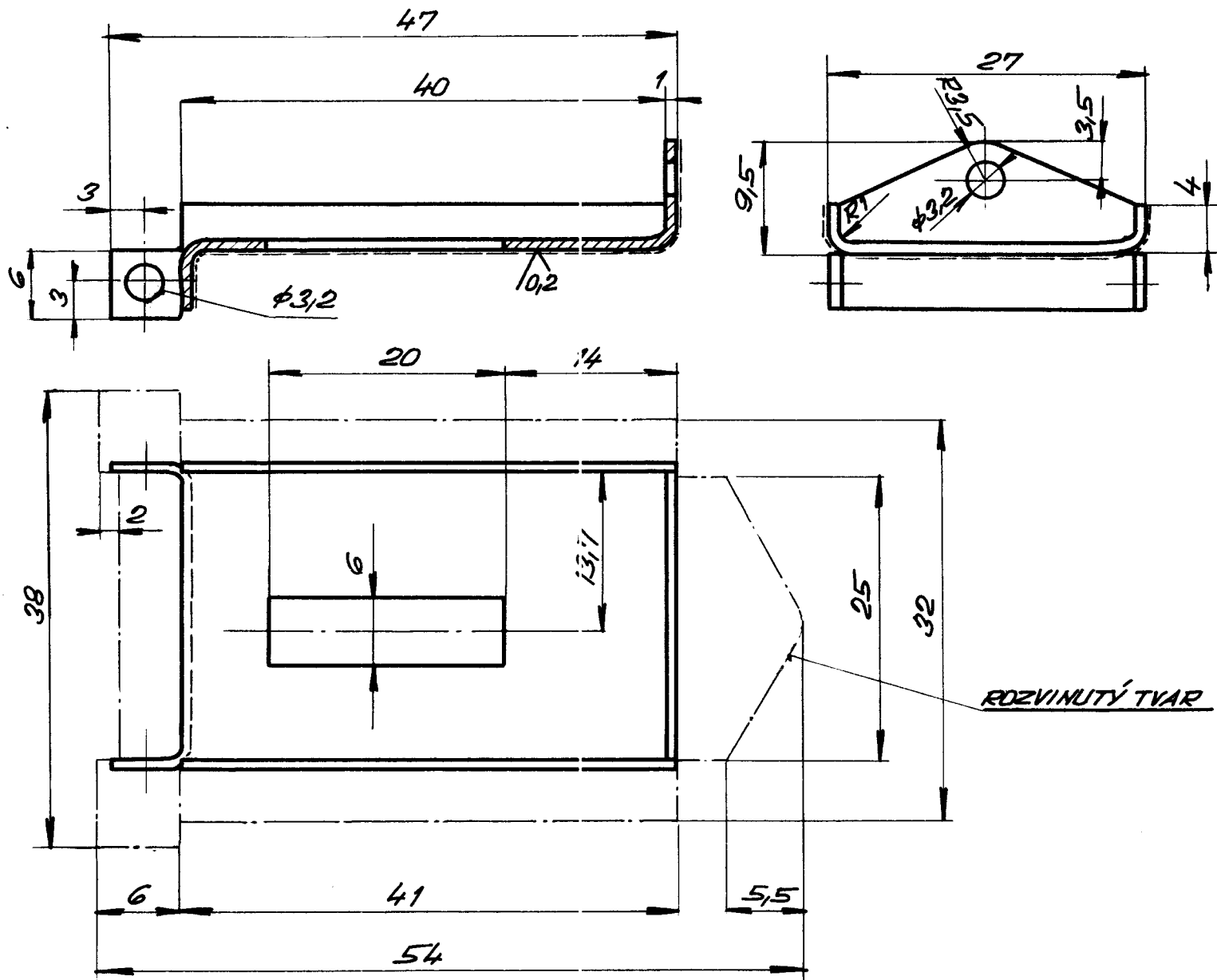
1. HRANY OTRAŽENY  $0,5 \times 45^\circ$ 

$\phi 45-15$	ČSN 425510	115007.0	1	OMP 001	1
Potisk	Název — Rozměr	Položovat	Mater. konečný	Mater. výchozí	Tr. oda. C. výh. H. výh. Celkové výkresu Pos.
<b>Pozadováno</b>					
Měřítko	Kreslil <i>Mallek</i>		C. svinčku		
2:1	Przekoušel				
	Norm. ref.				
	Výr. projedn.	Schválil <i>Schmid</i>	C. transp.		
		Dne <i>2. 11. 1966</i>			
<b>Stav výkres</b>					
VŠST	Typ	Skupina		Nový výkres	
LIBEREC	Název				
<b>MATICE</b>					
<b>4 NP 016</b>					
Projektant					
List					

VRTAT SPOLEČNĚ S DÍLCEM  
8. V. 3 MP 002



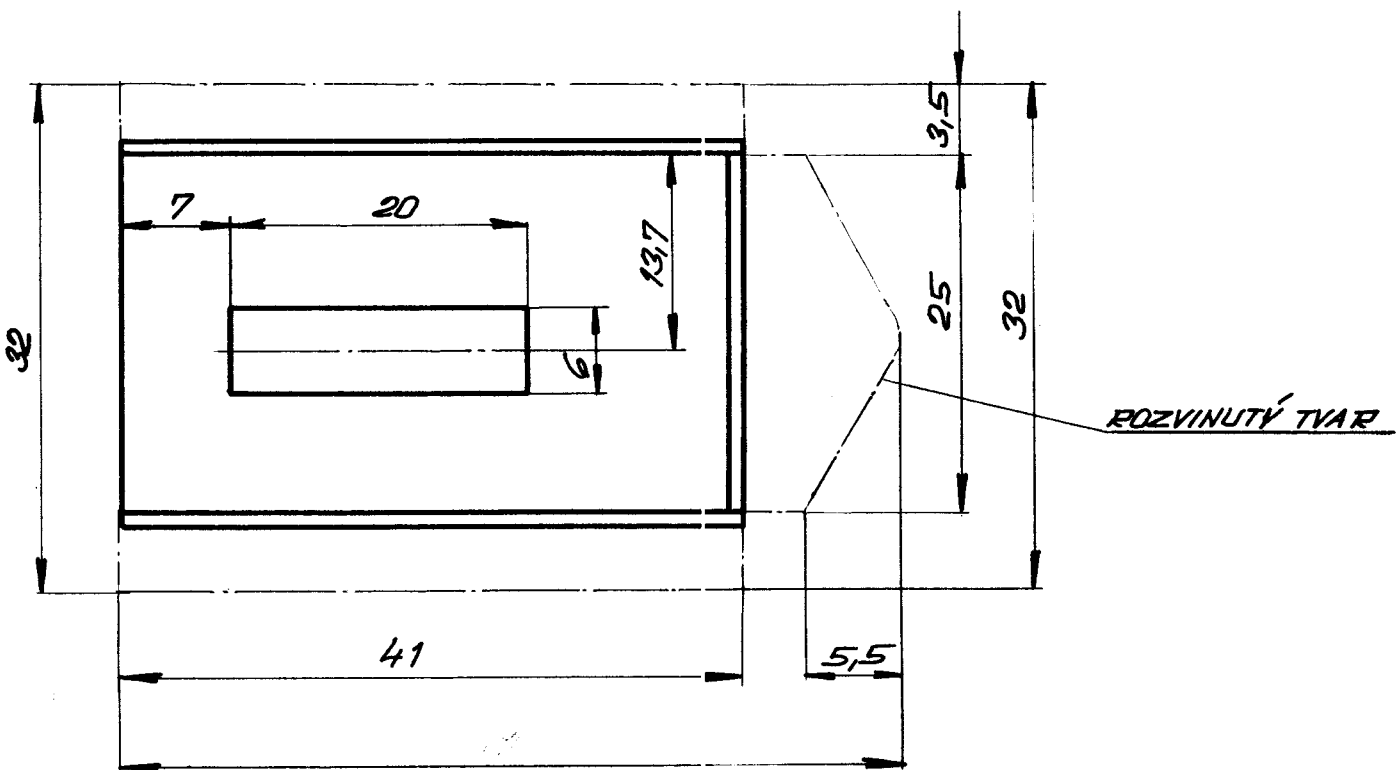
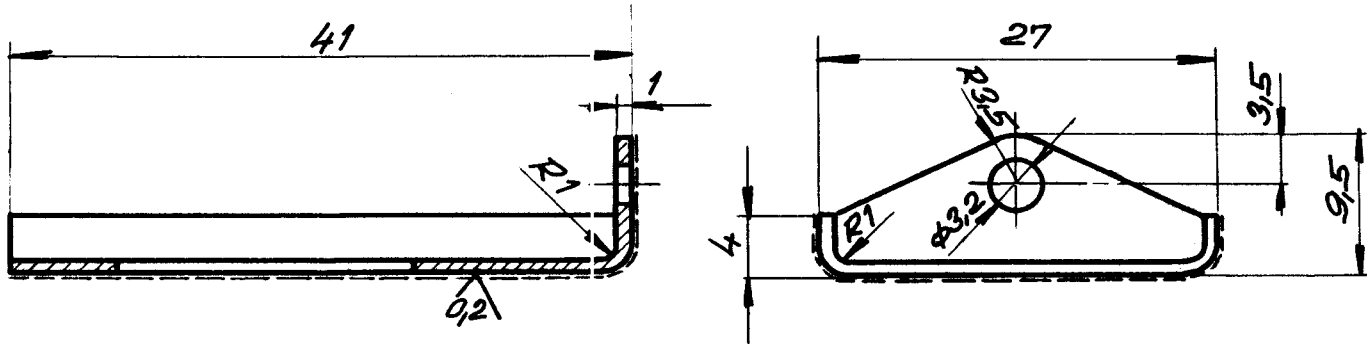
$\sim (\checkmark)$



### 1. ---- CHROMOVÁNO, LEŠTĚNO

PLECH 1 x 38 x 55		CSN 425301.21	11373.1		1		OMP 001	4	
Počet:	Název — Rozměr	Polotovar	Mater. konečný	Mater. výchozí	Tr. odp.	C. vaha	H. vaha	Cílo výkresu	Pos.
Poznámka									
Měřítka	Kreslil <i>Malik</i>		C. sminku	Celková čistá vaha kg					
2:1	Překousel			E					
	Norm. ref.			E					
	Výr. projedn.	Schválil	C. transp.	Z					
		Dne 2. 11. 1966							
VŠST LIBEREC		Typ Název	Skupina	Starý výkres	Nový výkres				
KRYT					4 MP 014				
				Doket číslo					
					List				

$\sim (\checkmark)$



## 1. —— CHRONOVÁNO, LEŠTĚNO

PLECH 1x32x50		CSN 425301.21	11373.1		1			OMP 001	3
Potisk	Název — Rozměr	Položovat	Mater. k otevření	Mater. výchozí	tr. odp.	C. váha	Hr. váha	Cílový úhelník	Pos.
Poznámka					Celková čistá váha kg				
Měřítko	Kreslil <i>Malík</i>		C. animku						x
	Prézkoušel								
2:1	Norm. ref.								x
	Výr. projedn.	<i>Schválil</i>	C. transp.						x
		Dne 2. 11. 1966							
		Typ	Skupina	Starý výkres				Nový výkres	
		Název							
<i>VŠST LIBEREC</i>		<i>KRYT</i>						<i>4 MP 013</i>	<i>list</i>